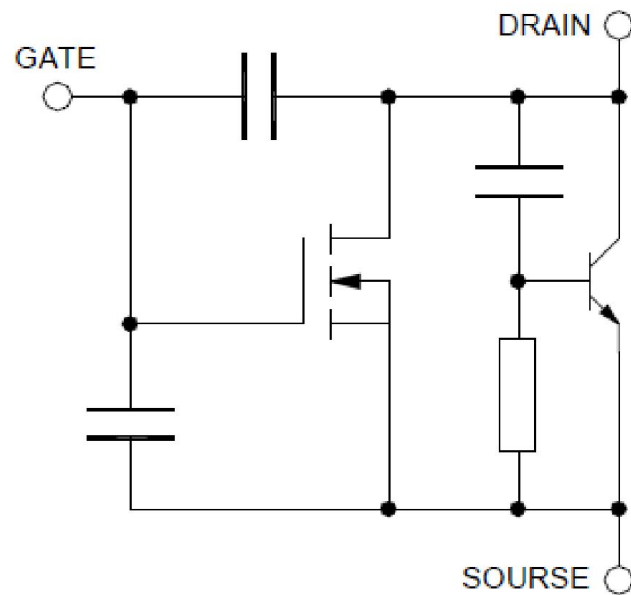
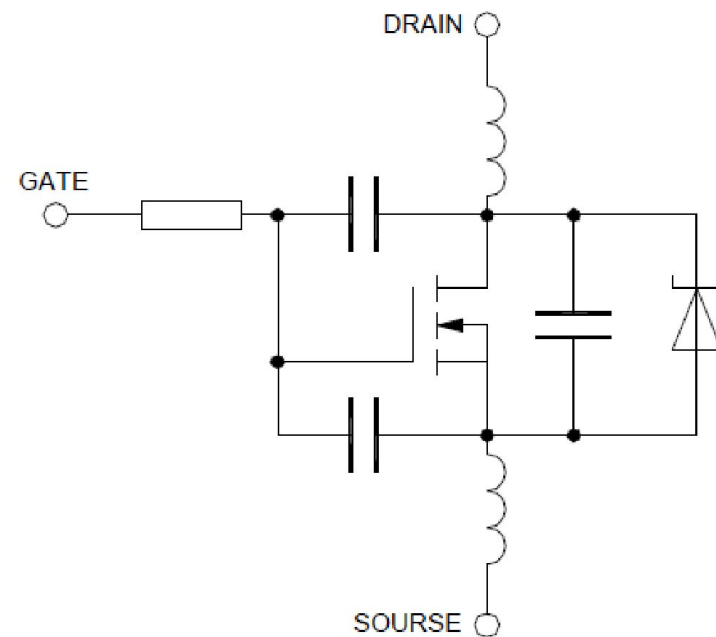


(a)



(b)



(c)

Рис.1 Модели полевых транзисторов

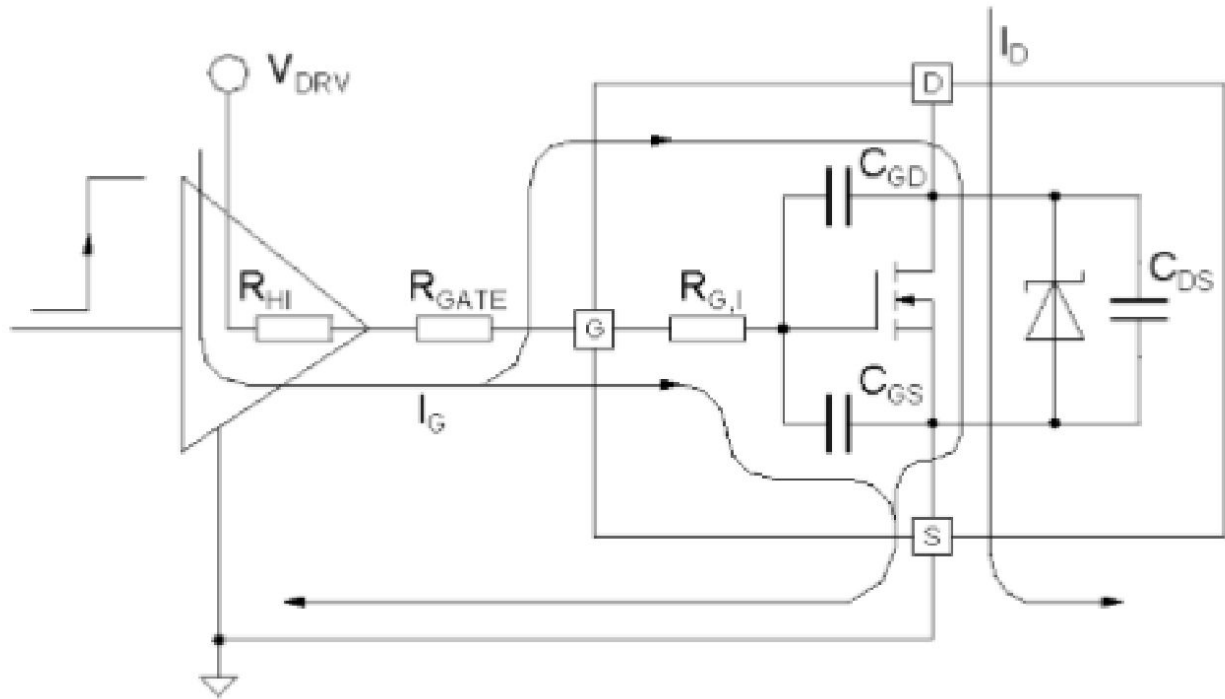
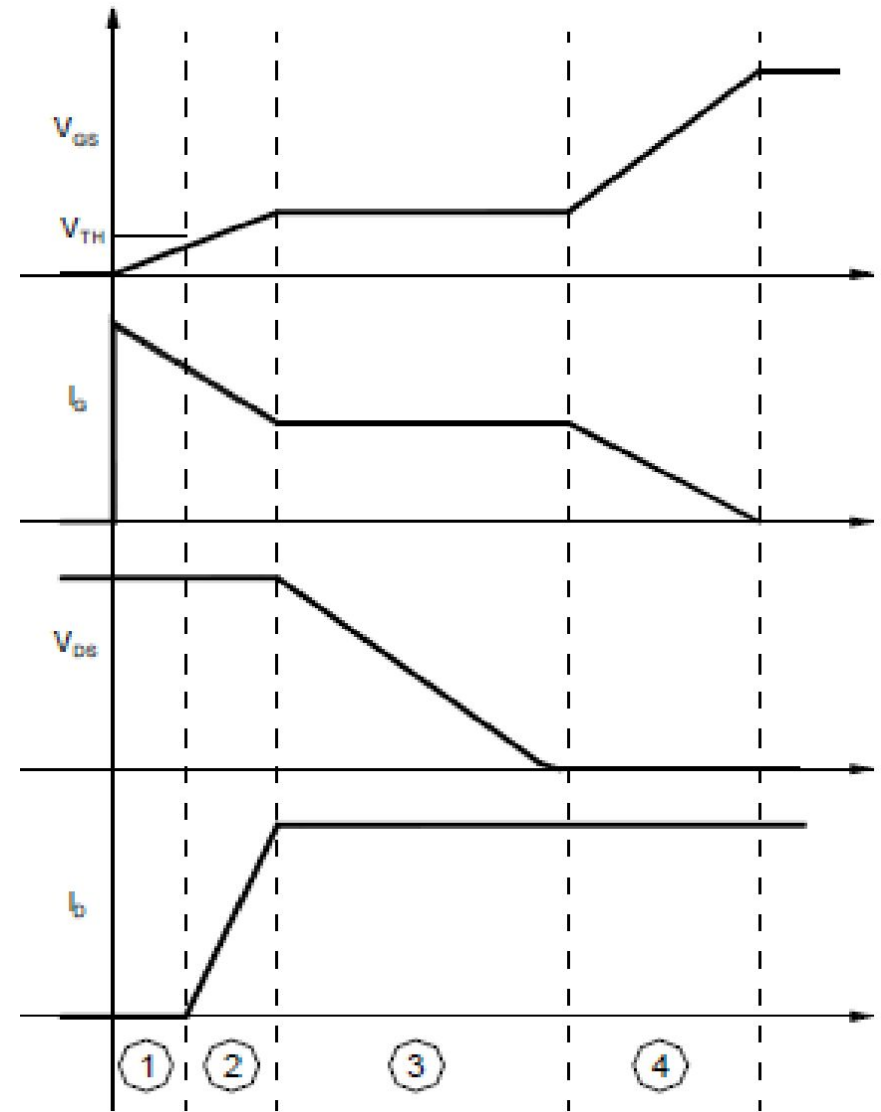


Рис.2. Процесс включения транзистора



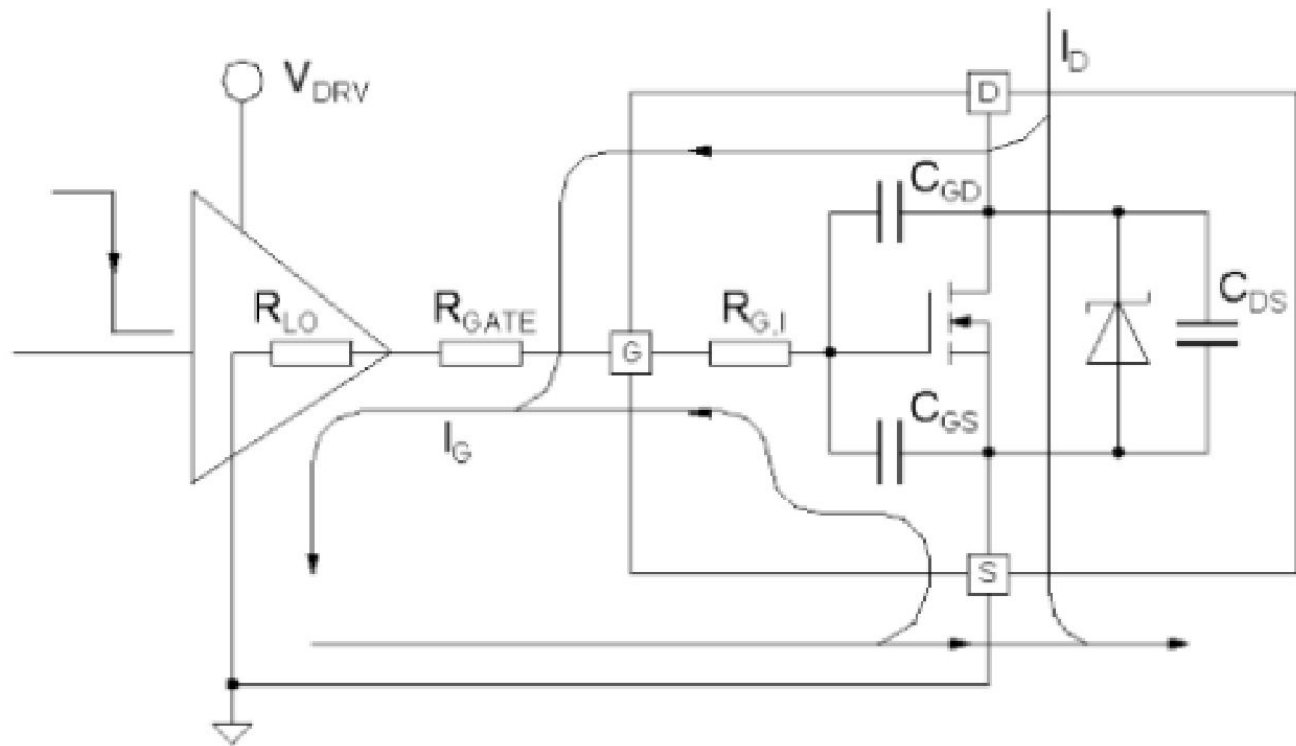
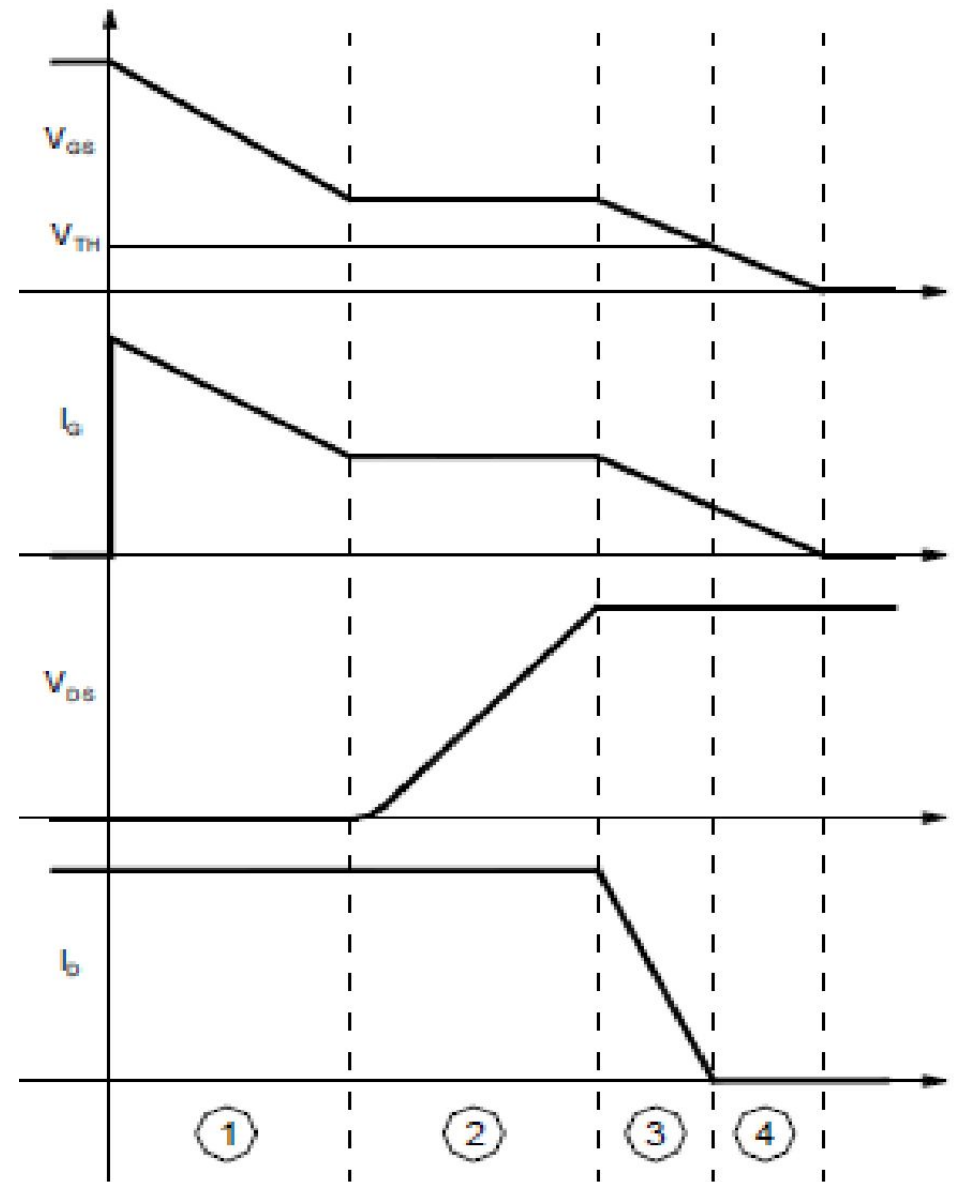


Рис.3. Процесс выключения транзистора



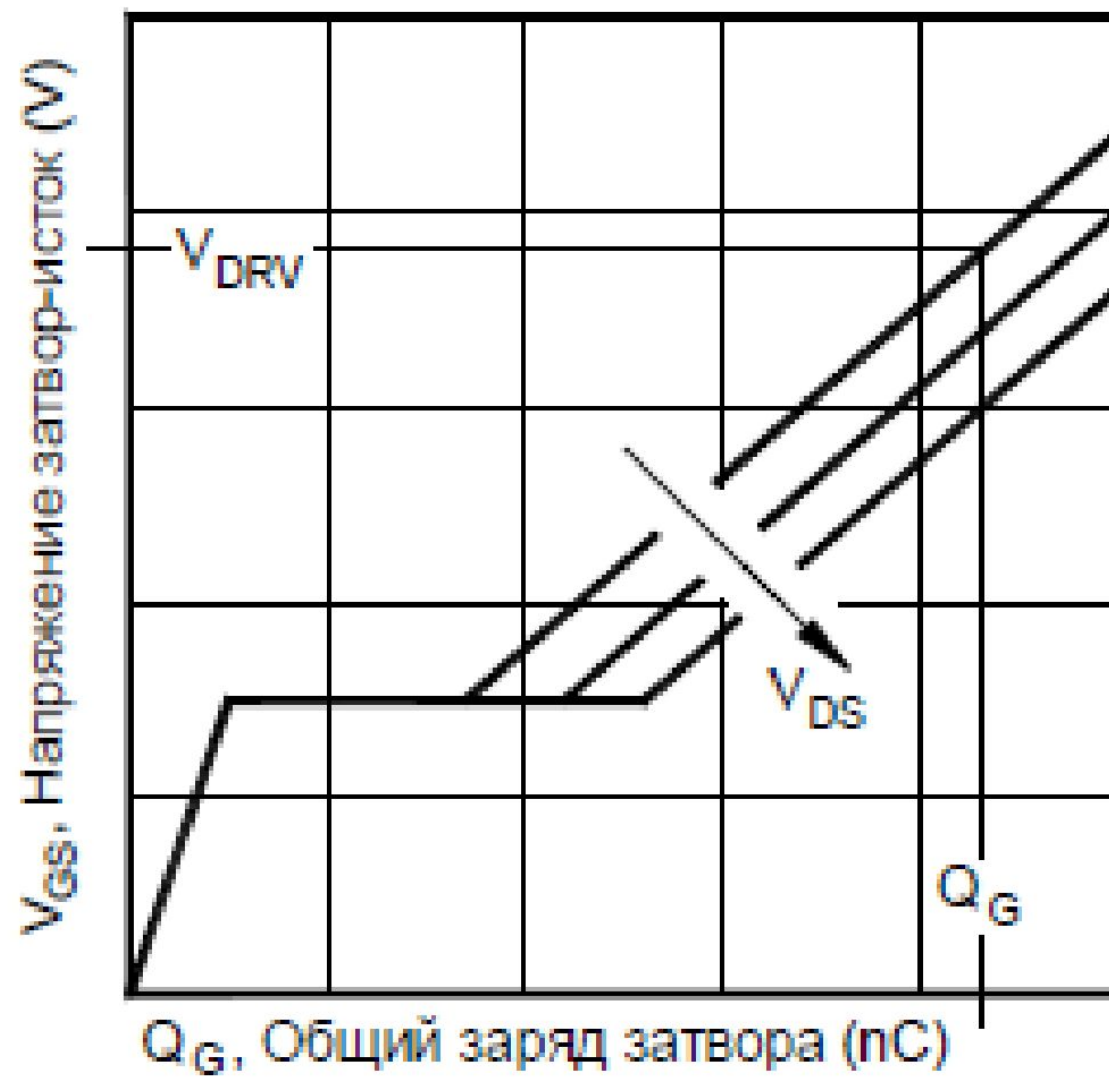


Рис.4 Типовая диаграмма общего заряда затвора

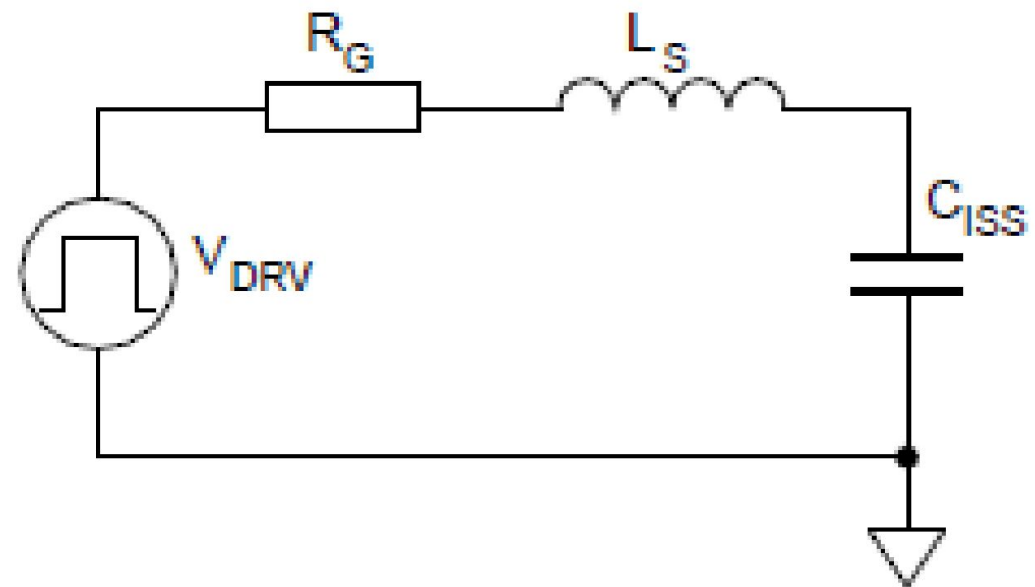


Рис.5 Паразитные элементы цепи затвора

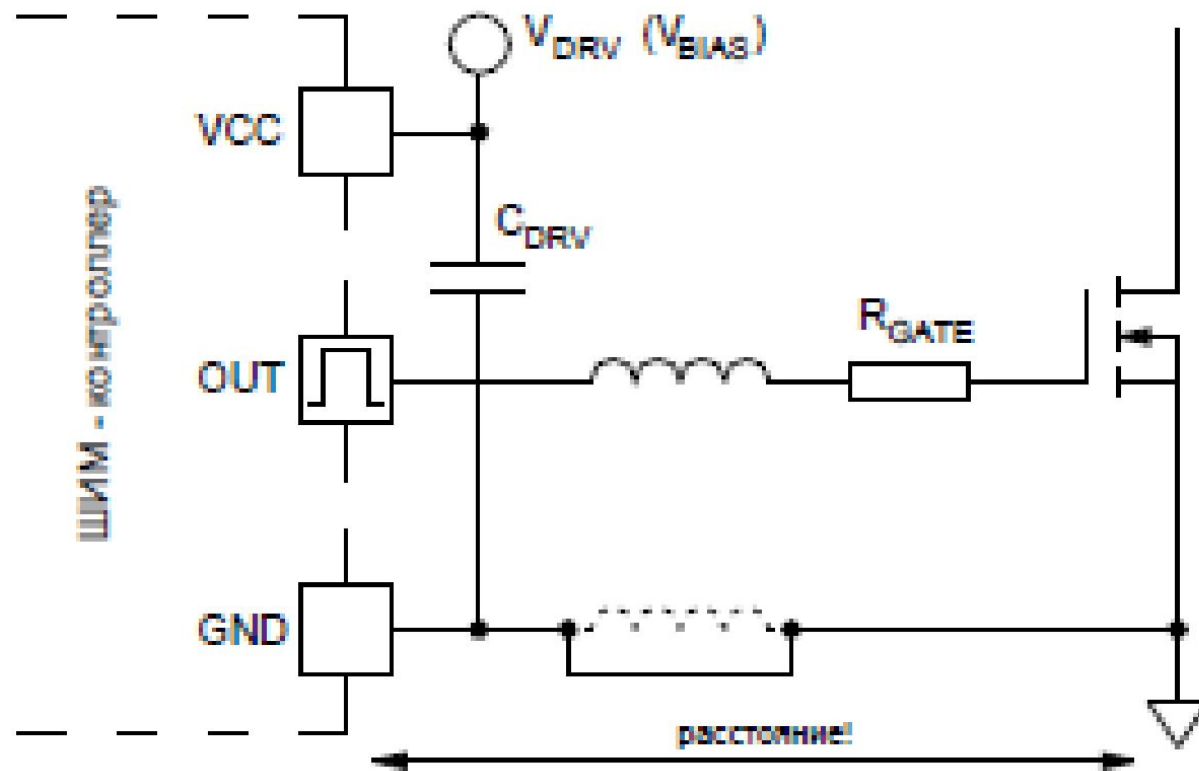


Рис.6 Прямое управление полевым транзистором

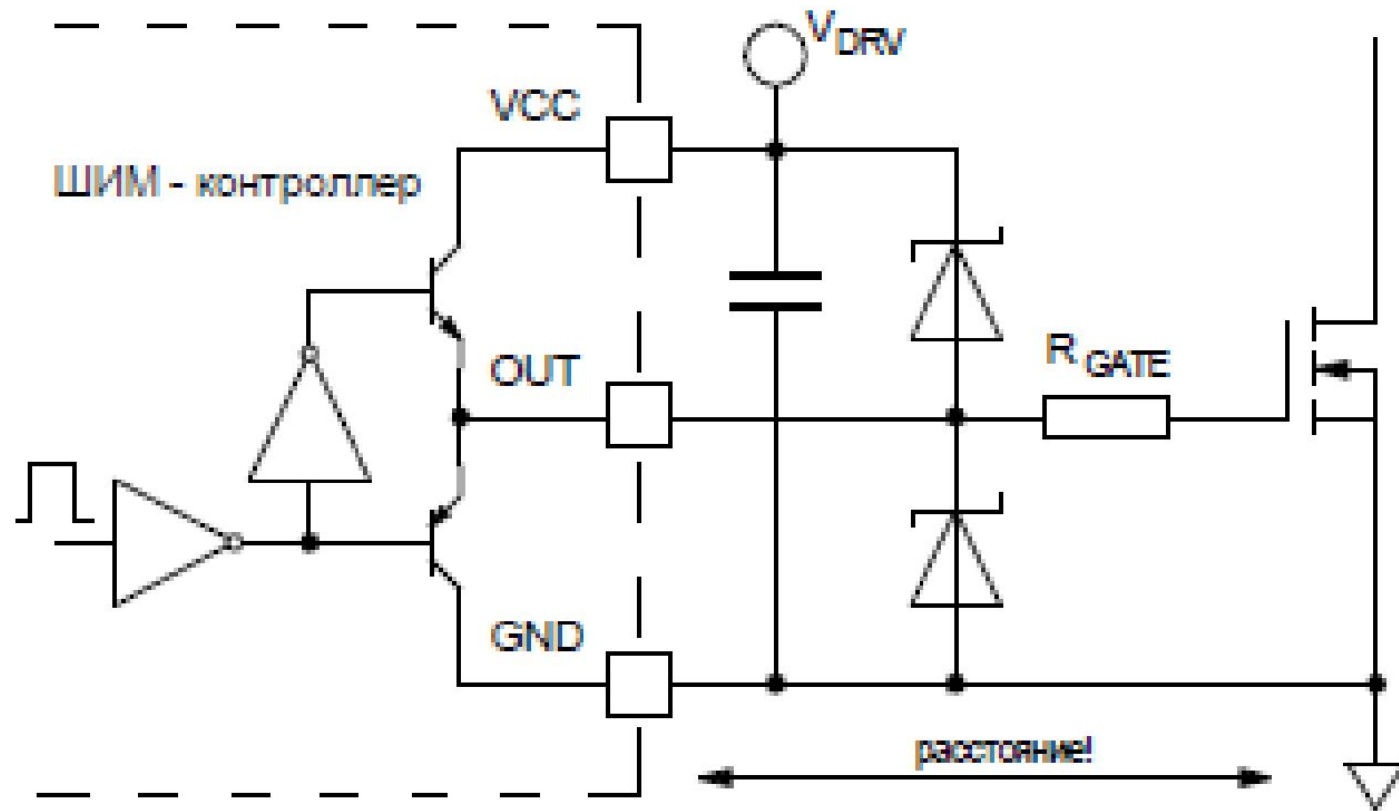


Рис.7 Драйвер с выходным каскадом на биполярных транзисторах

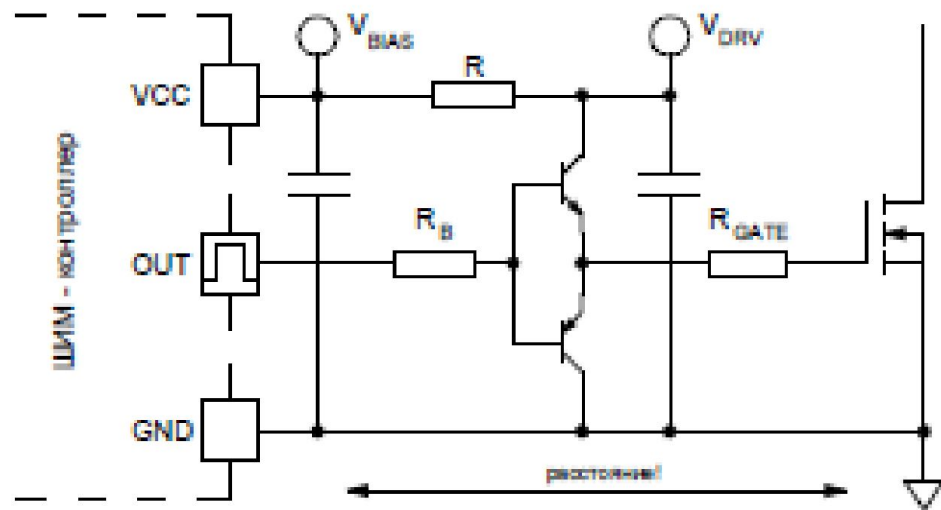


Рис.8 Двухтактный драйвер на биполярных транзисторах

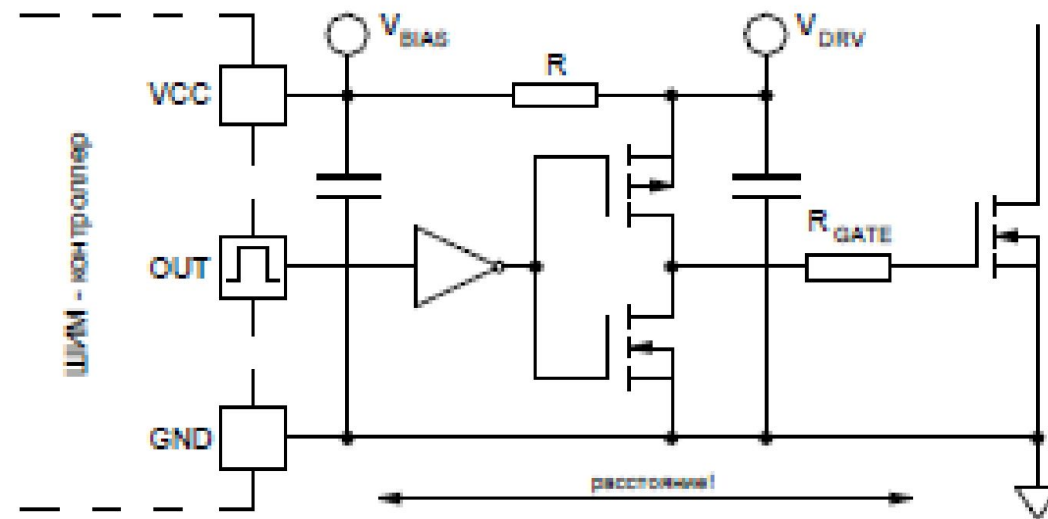


Рис.9 Двухтактный драйвер на полевых транзисторах

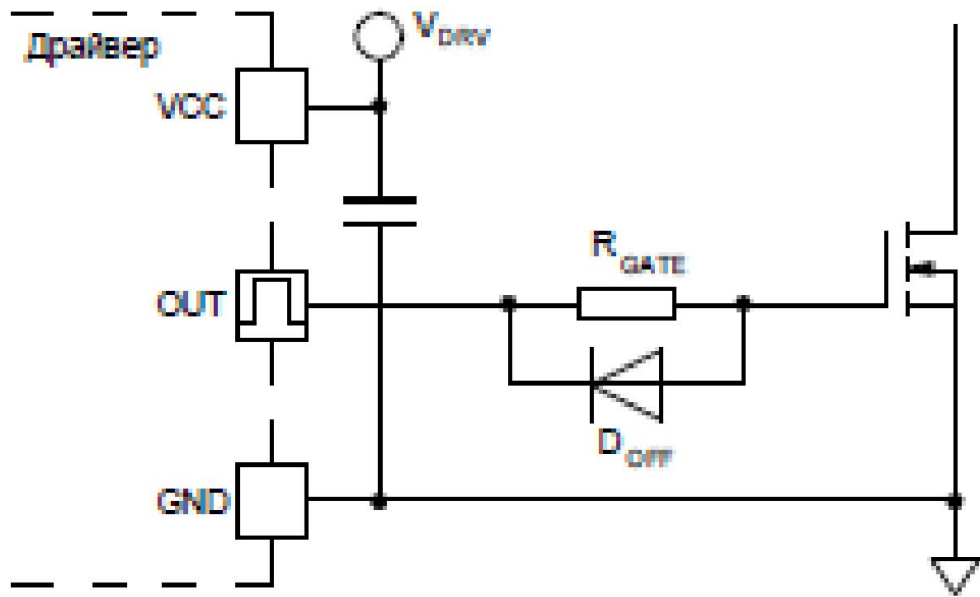


Рис.10 Ускорение выключения при помощи диода

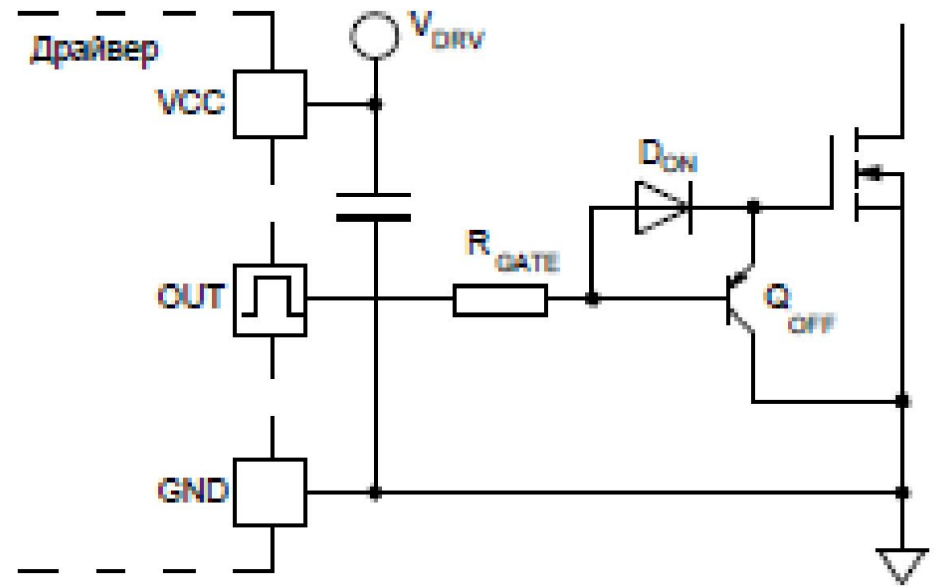


Рис.11 Ускорение выключения при помощи p-n-p транзистора

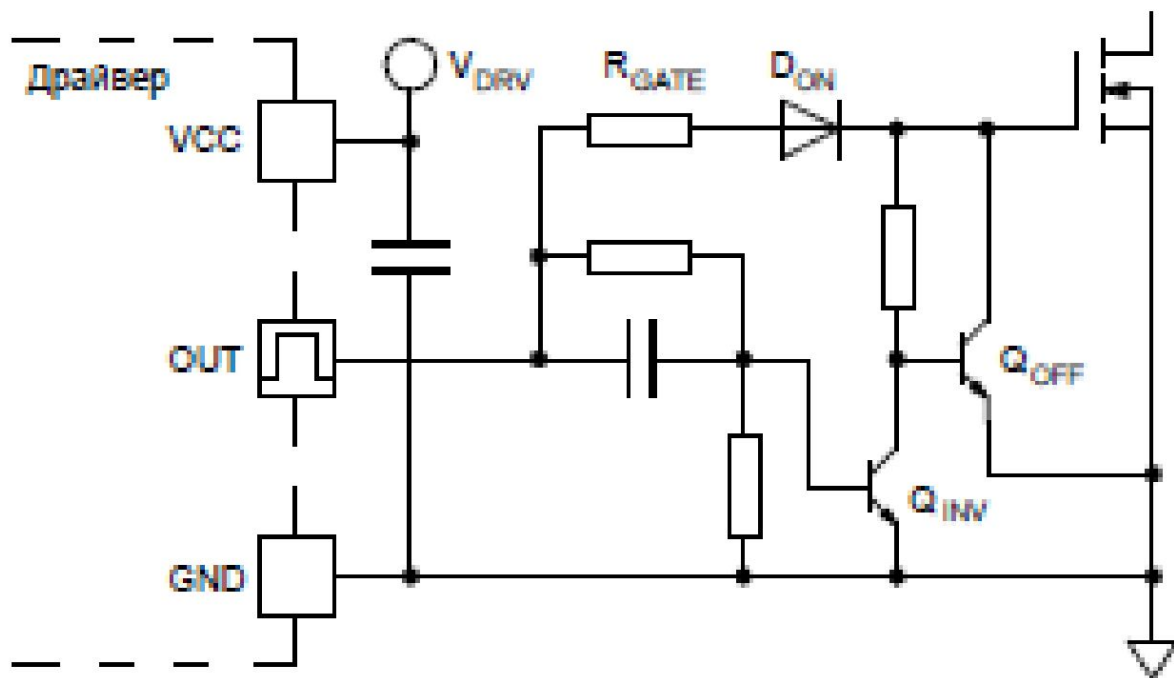


Рис.12 Ускорение выключения при помощи n-p-n транзистора

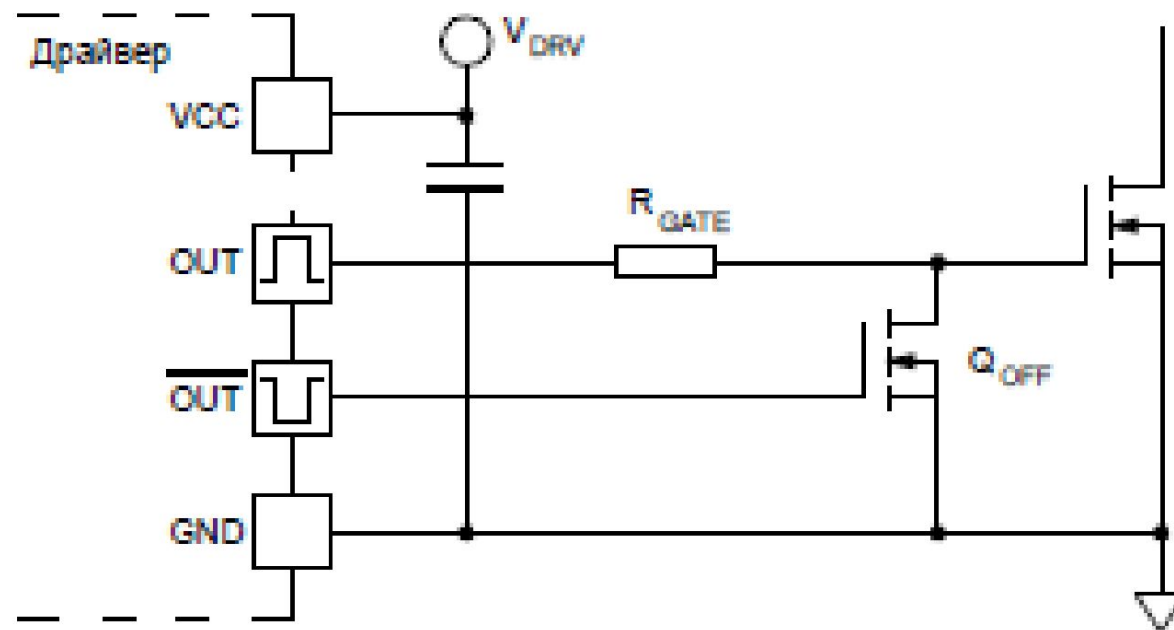


Рис.13 Ускорение выключения при помощи полевого транзистора

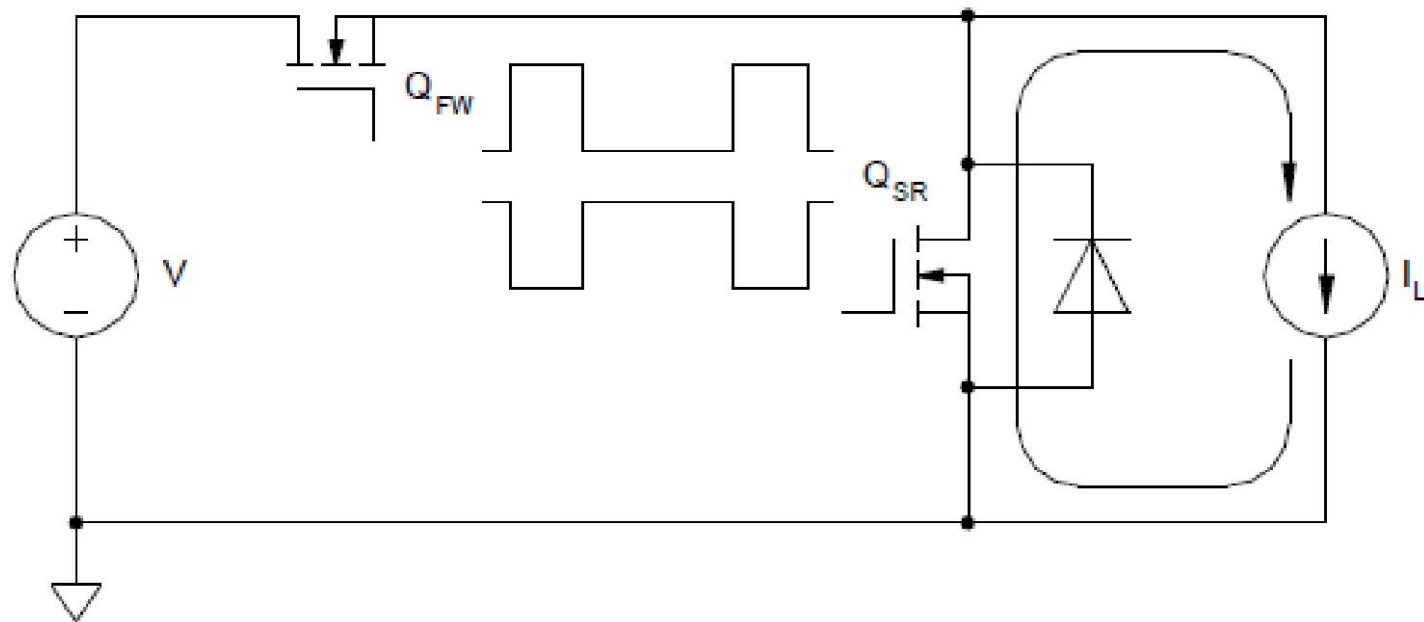


Рис.14. Модель синхронного выпрямителя

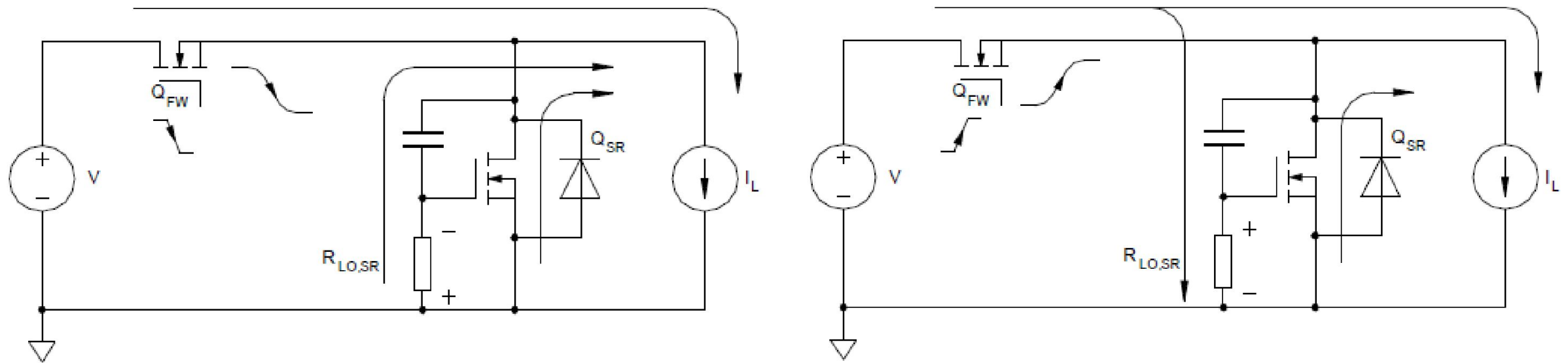


Рис.15 Процессы переключения в синхронном выпрямителе

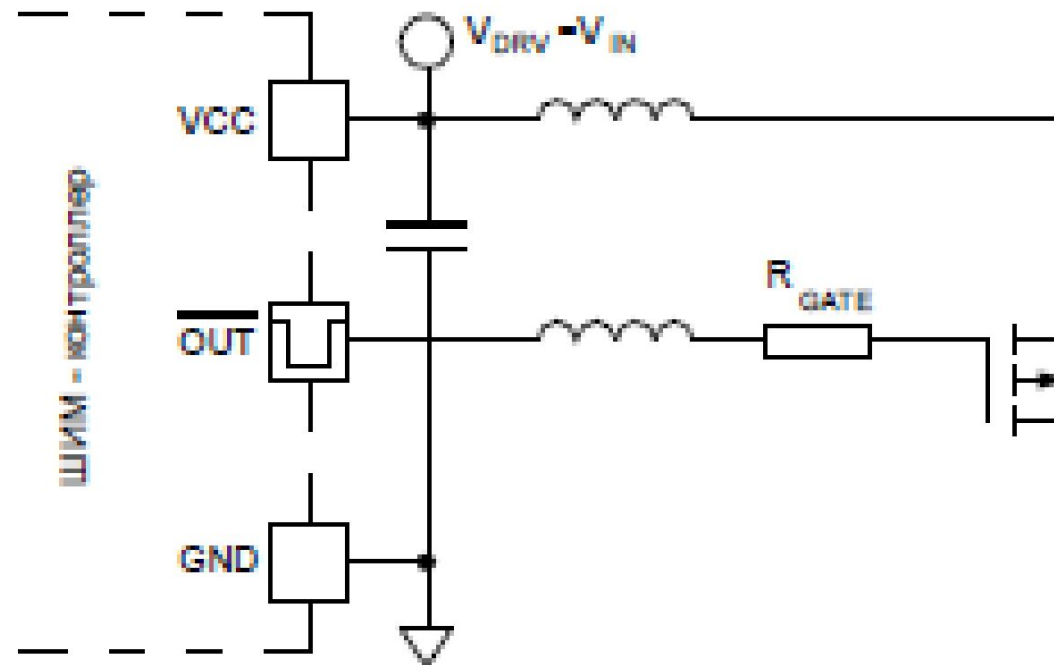


Рис.16 Прямое управление р-канальным транзистором

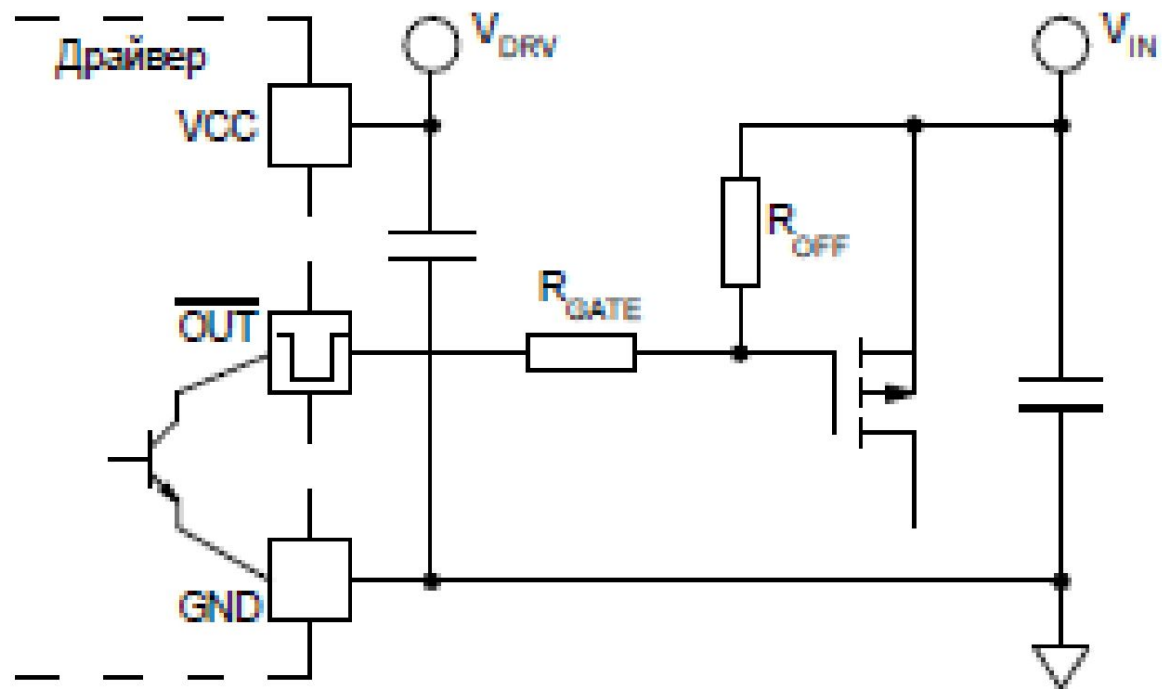


Рис.17 Включение драйвера с открытым коллектором

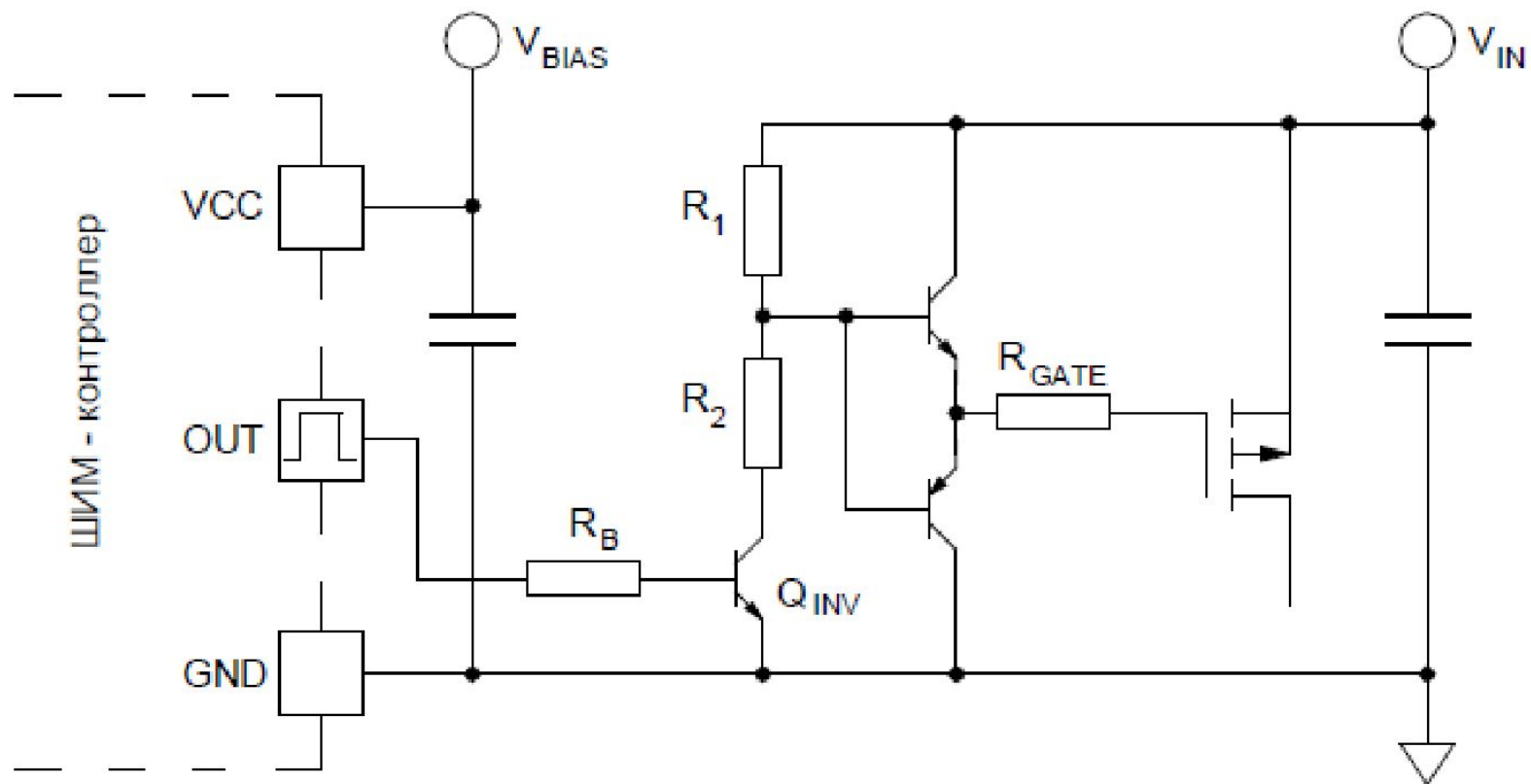


Рис.18 Схема сдвига уровня на дискретных компонентах

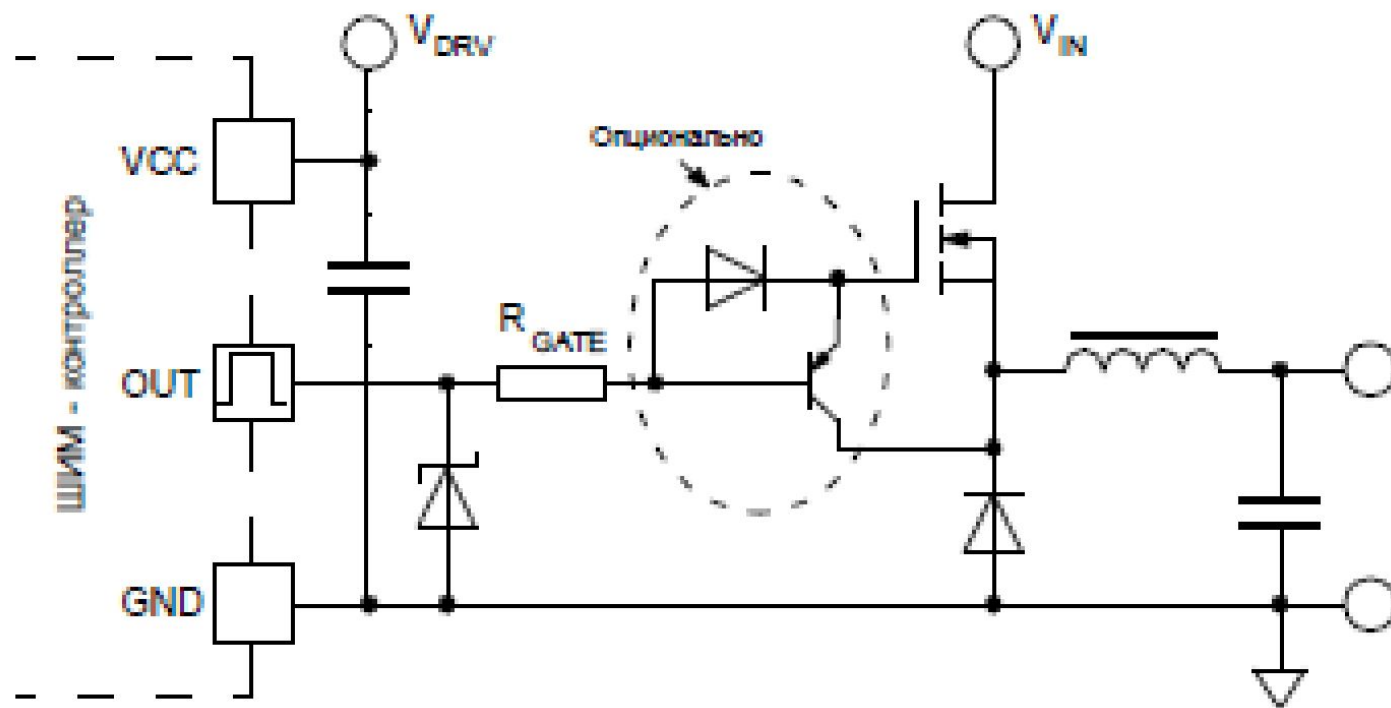


Рис.19 Прямое управление п-канальным транзистором

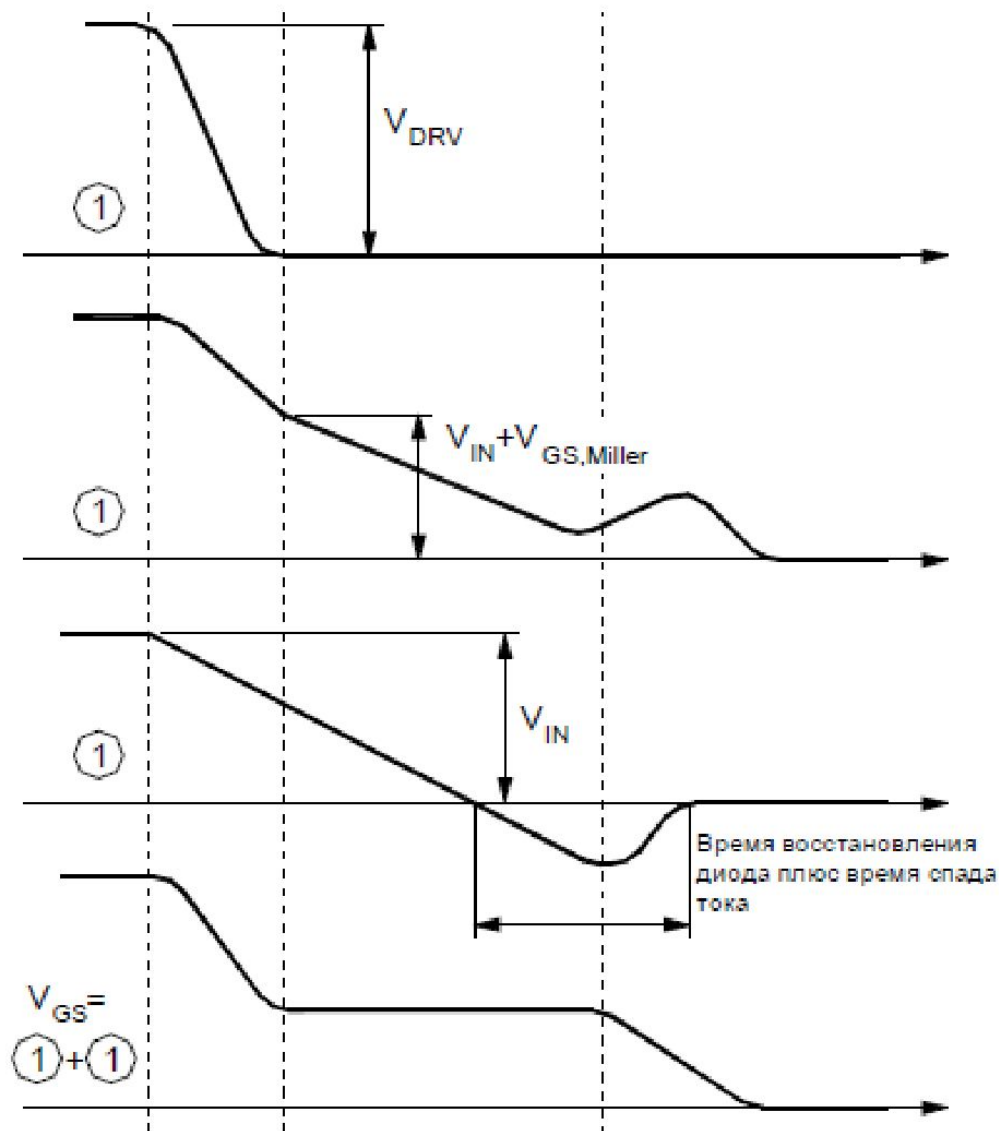
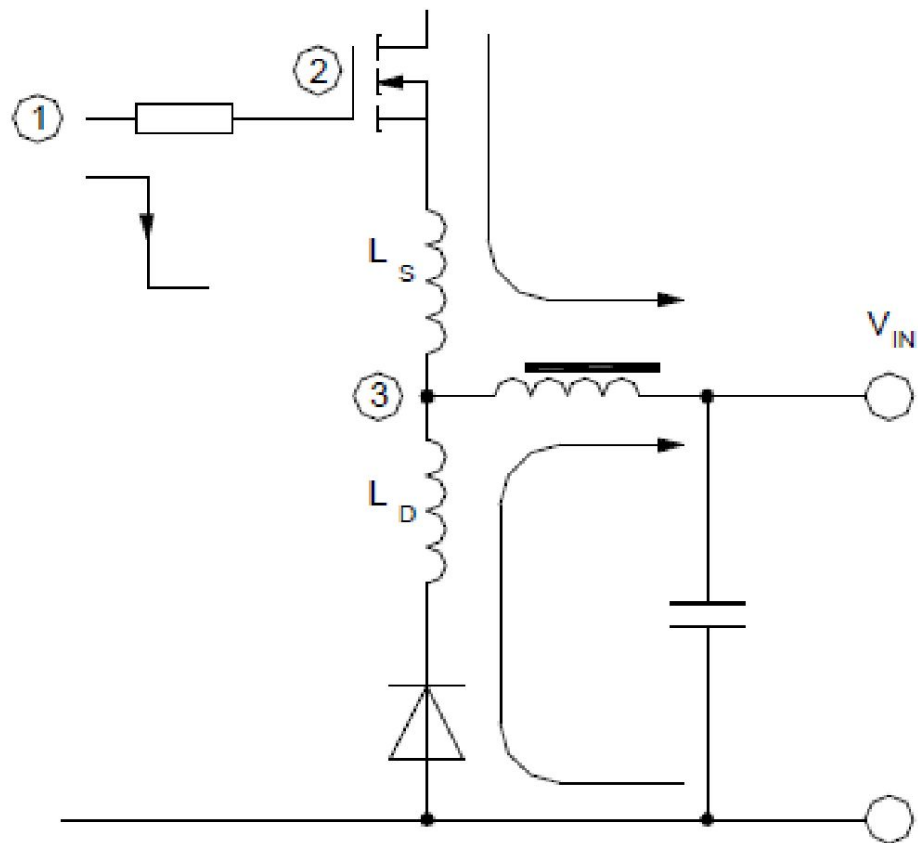


Рис.20 Процесс выключения п-канального транзистора верхнего уровня

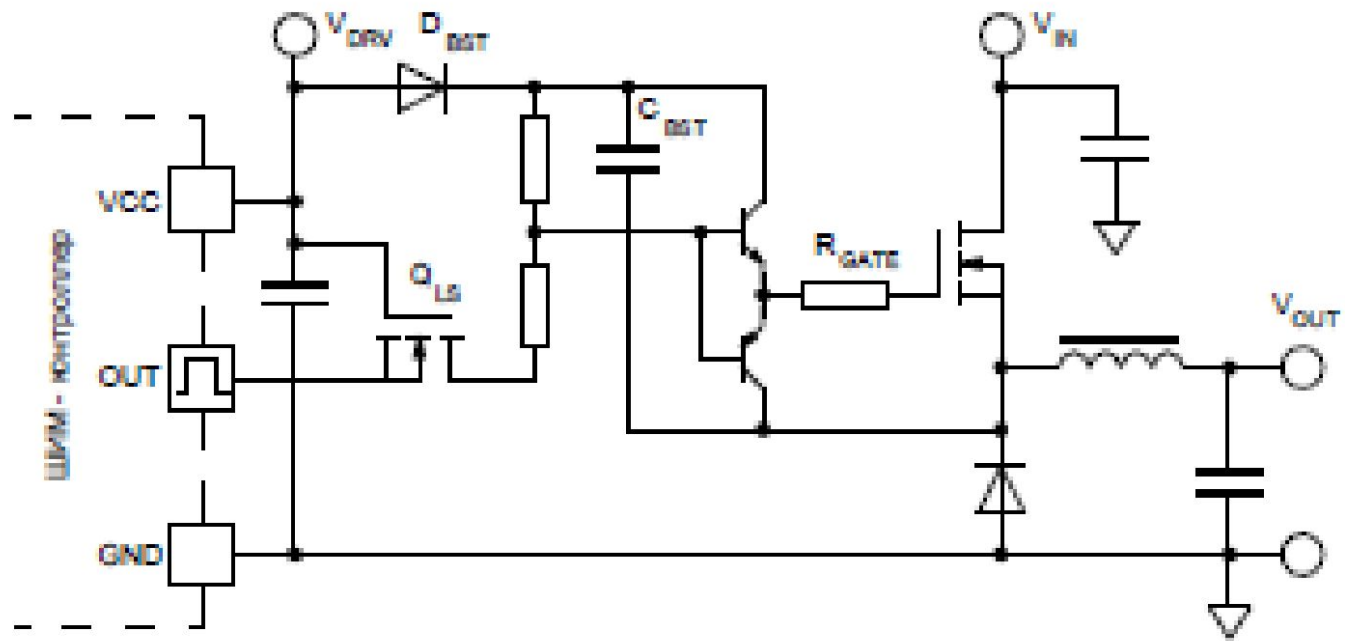


Рис.21 Бутстрепный драйвер на дискретных компонентах

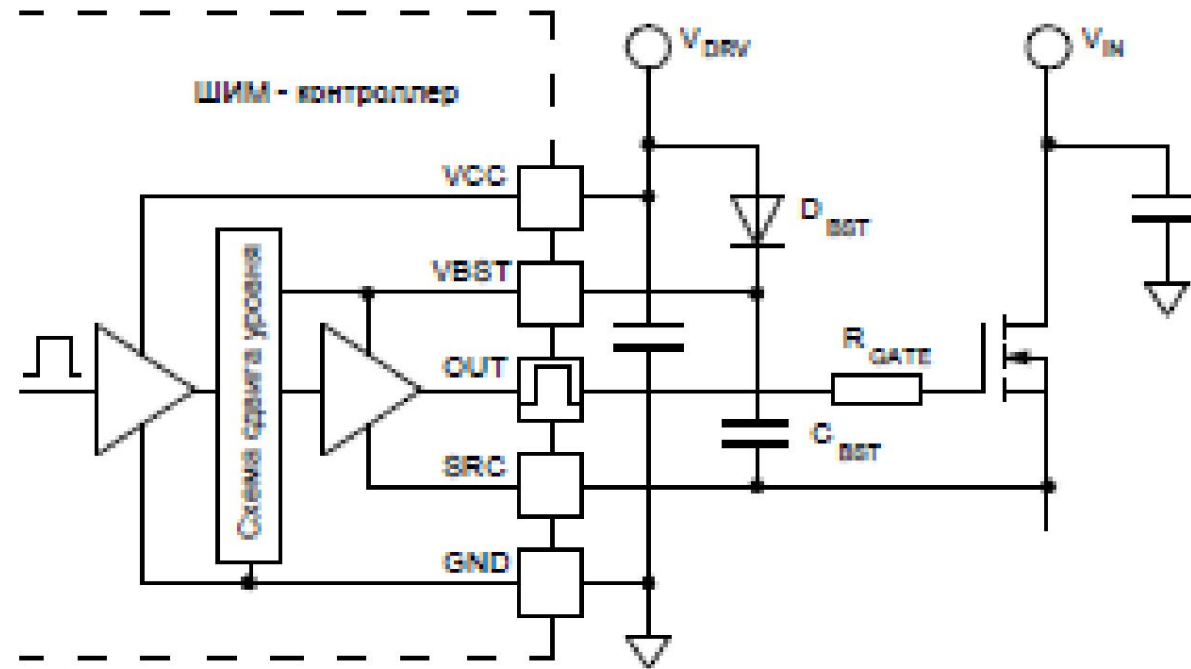


Рис.22 Интегрированный бутстрепный драйвер

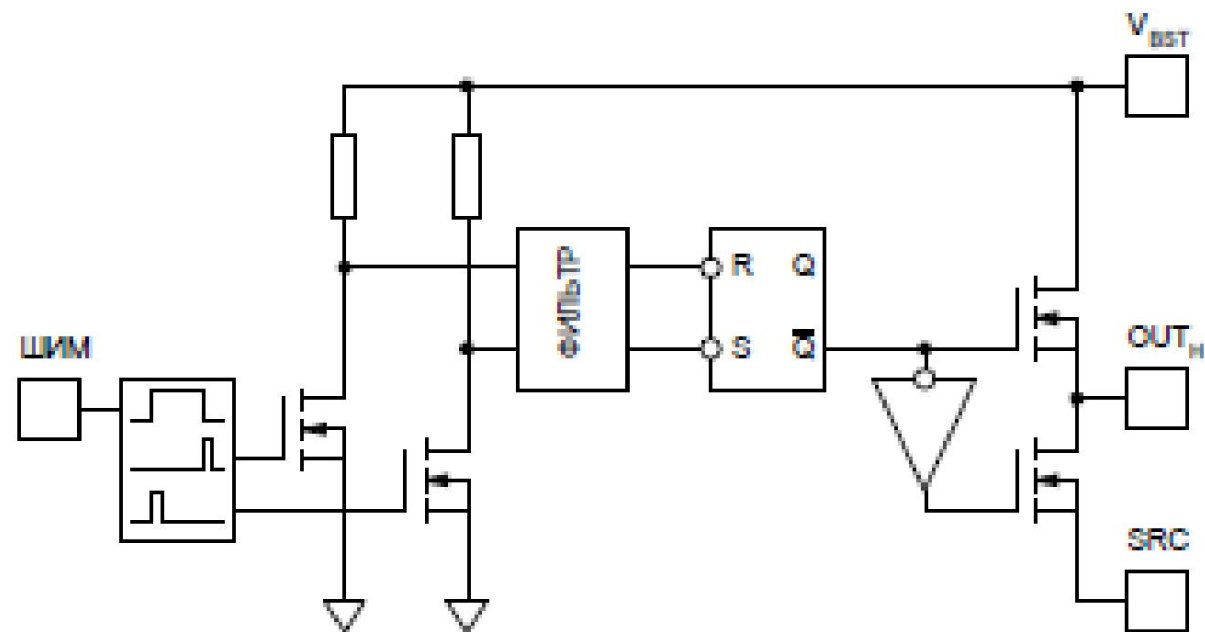


Рис.23 Бутстрепный драйвер на основе Pulsed Latch

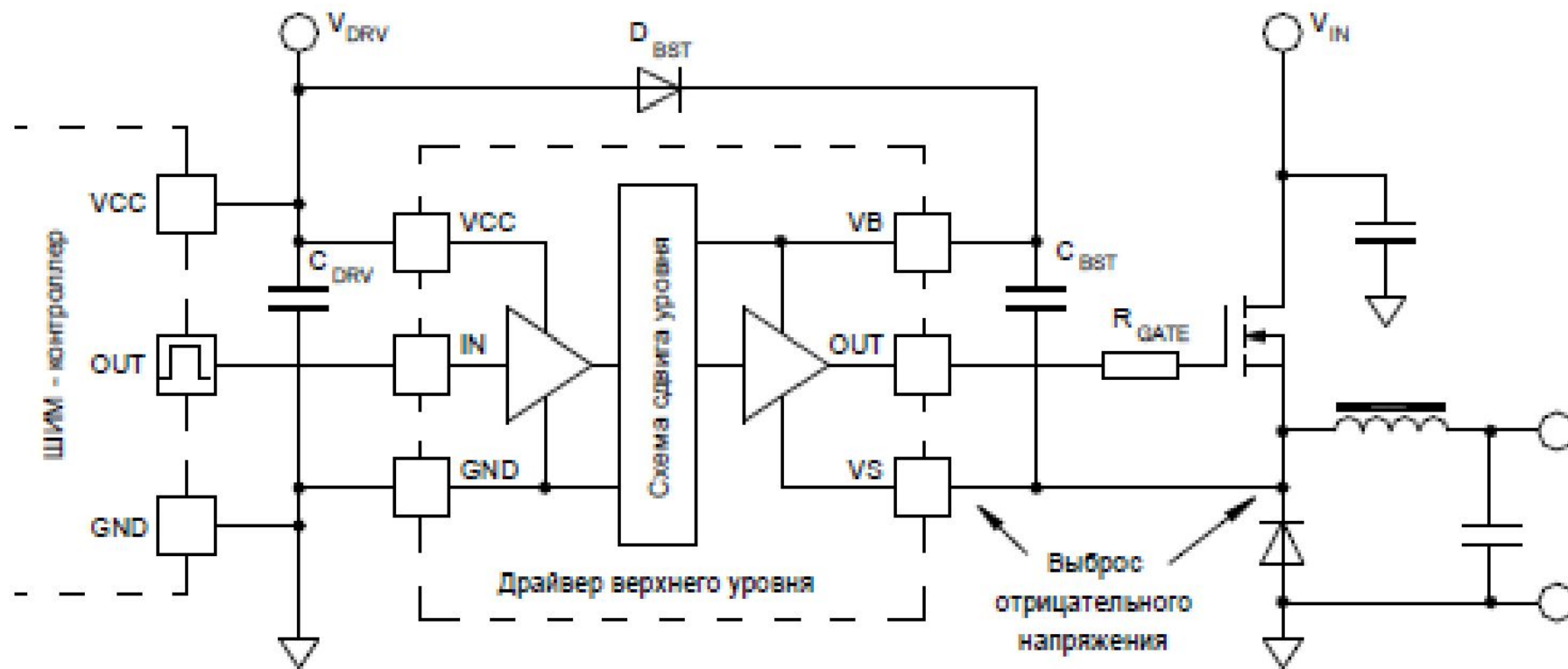


Рис.24 Интегральный драйвер верхнего уровня

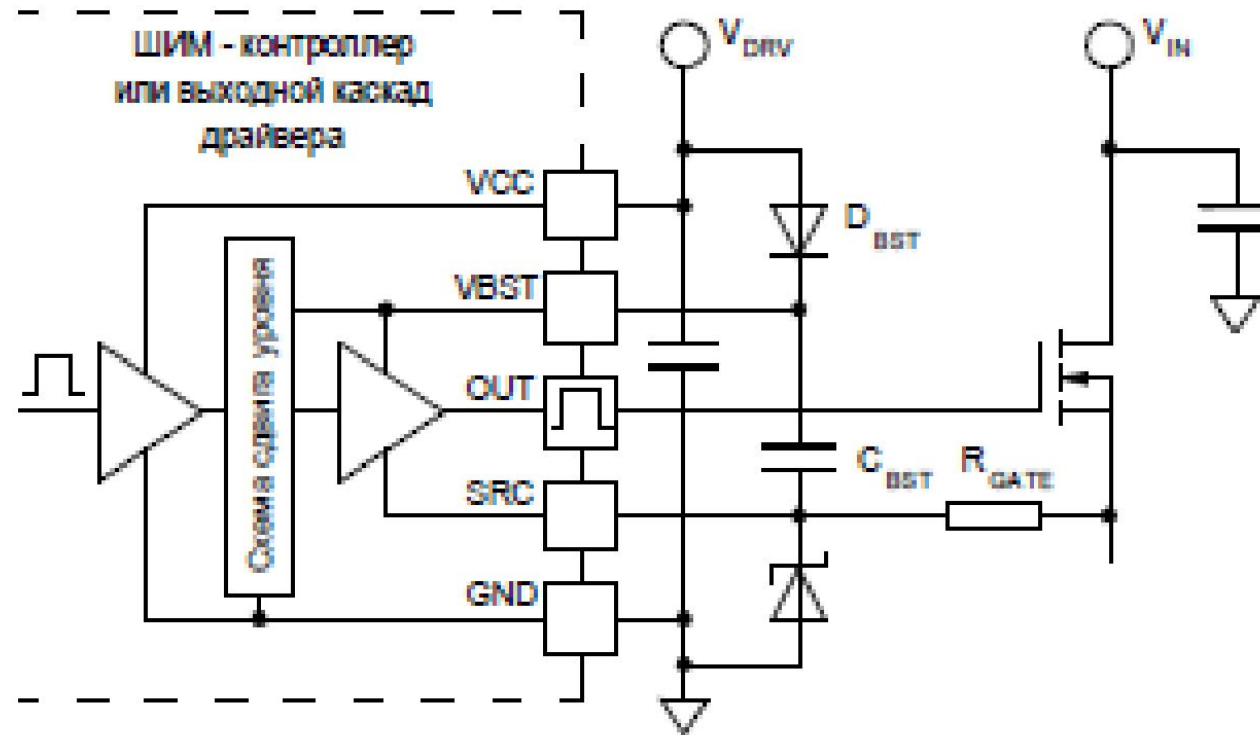


Рис.25 Защита вывода SRC

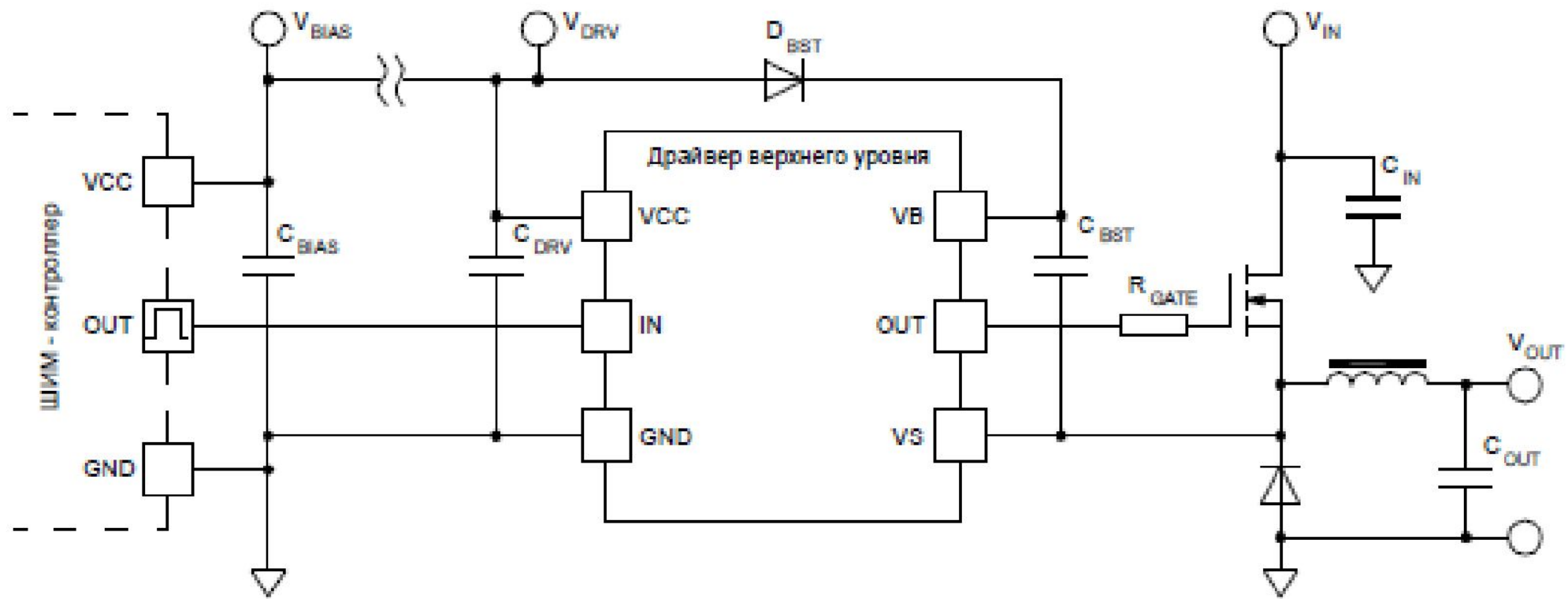


Рис.26 Питание драйвера верхнего уровня

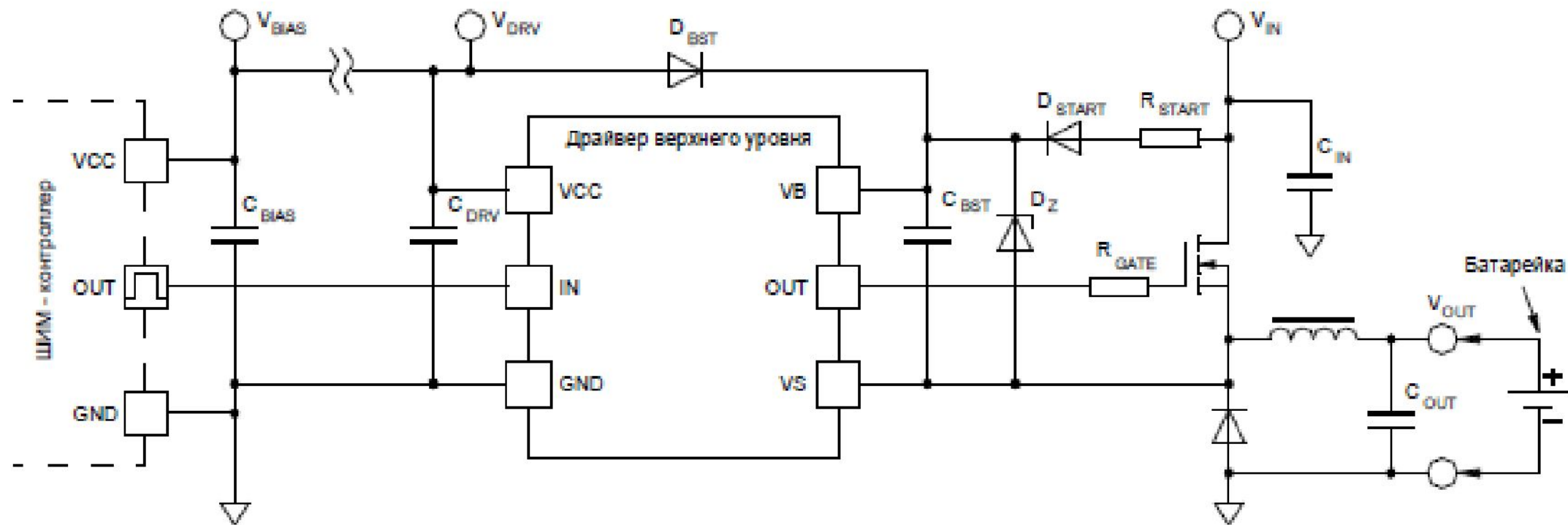


Рис.27 Схема запуска бутстрепного драйвера

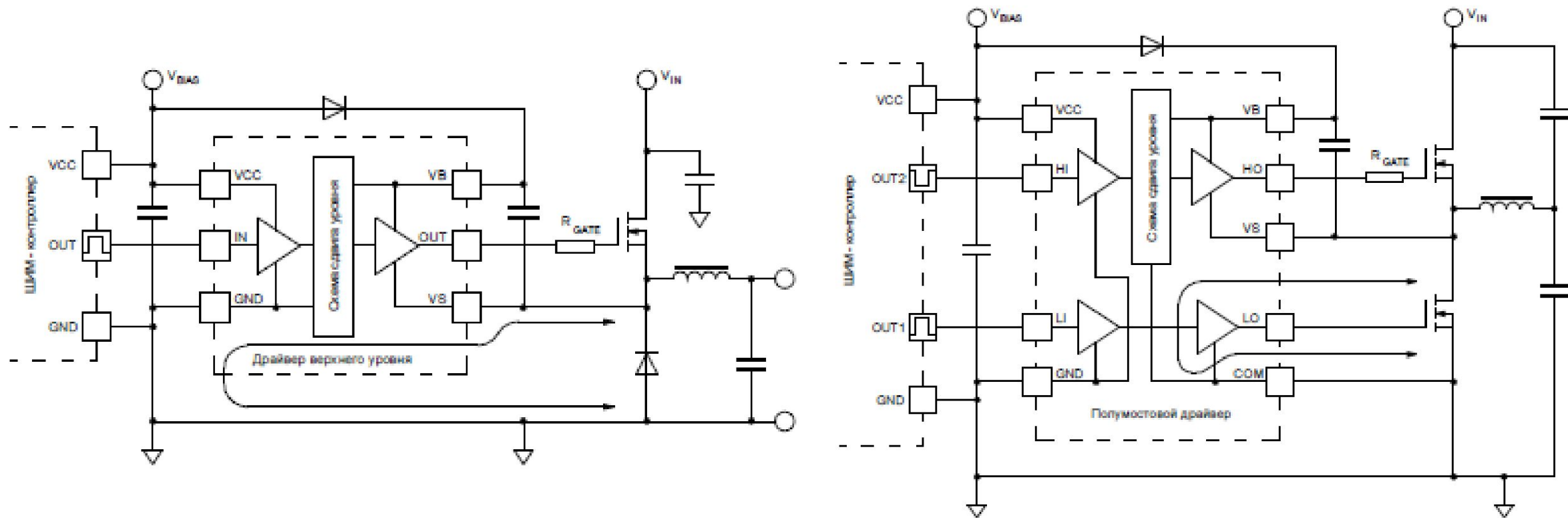


Рис.28 Емкостные токи в высоковольтных схемах

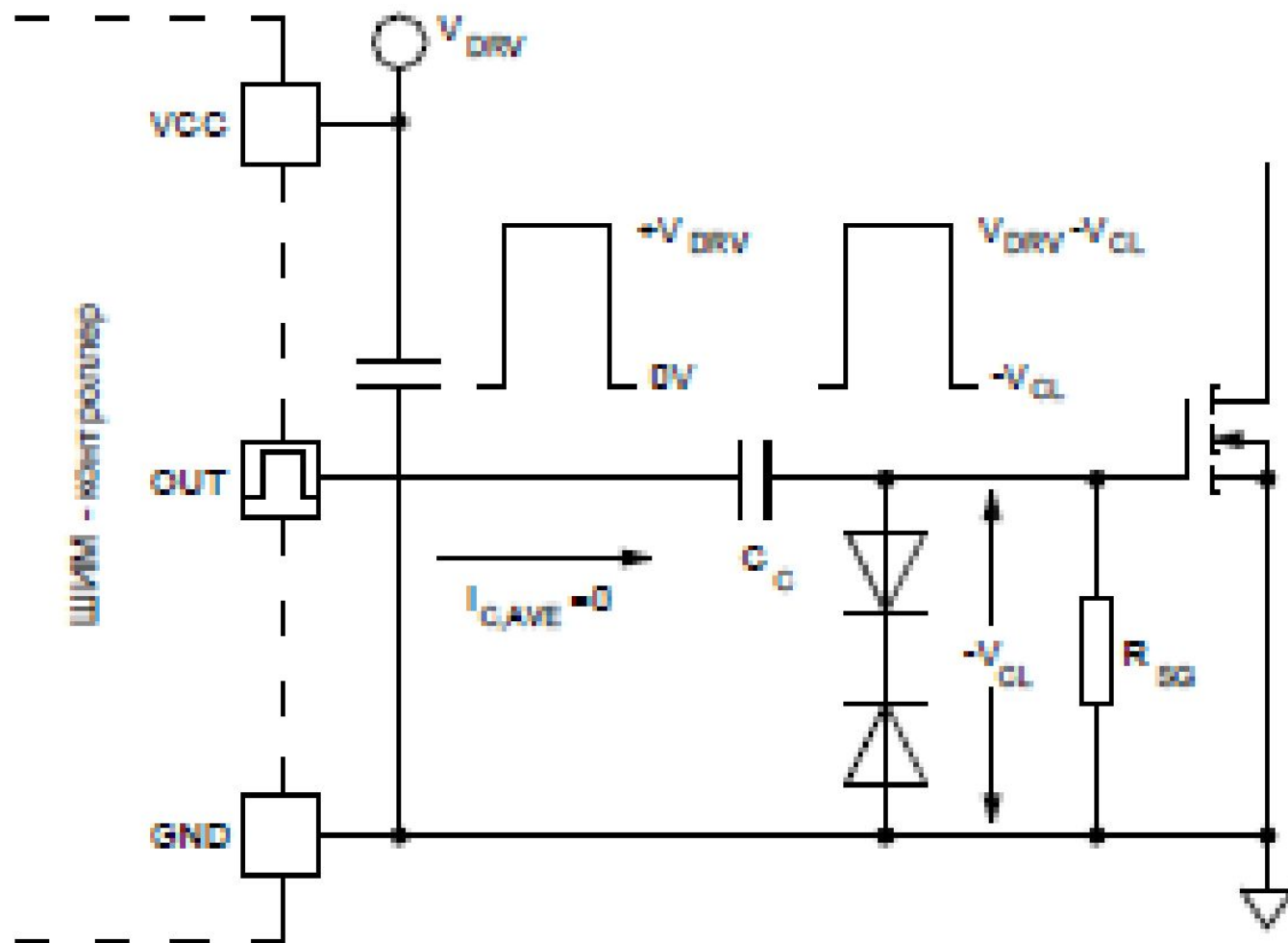


Рис.29 Схема развязки по постоянному току

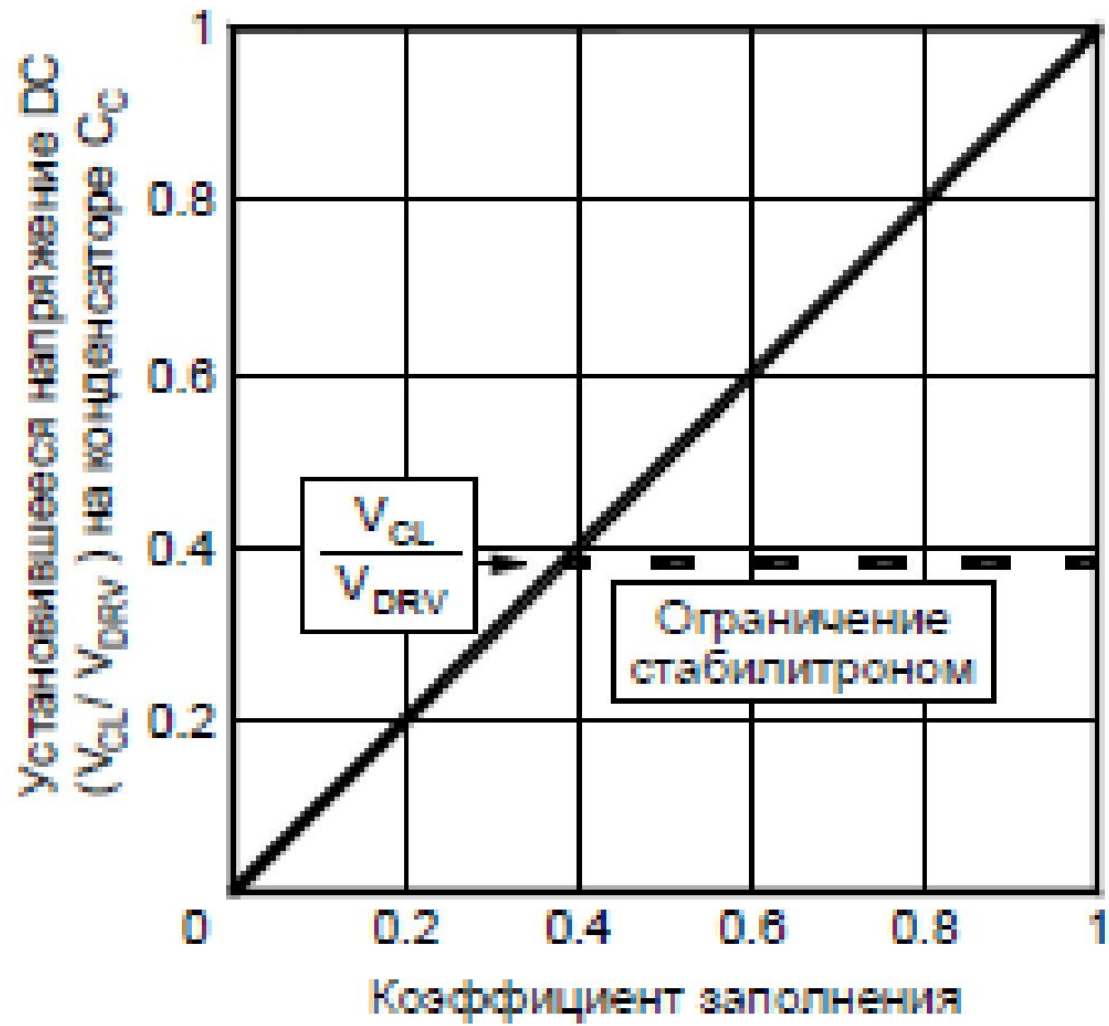


Рис.30 Зависимость напряжения на развязывающем конденсаторе от коэффициента заполнения

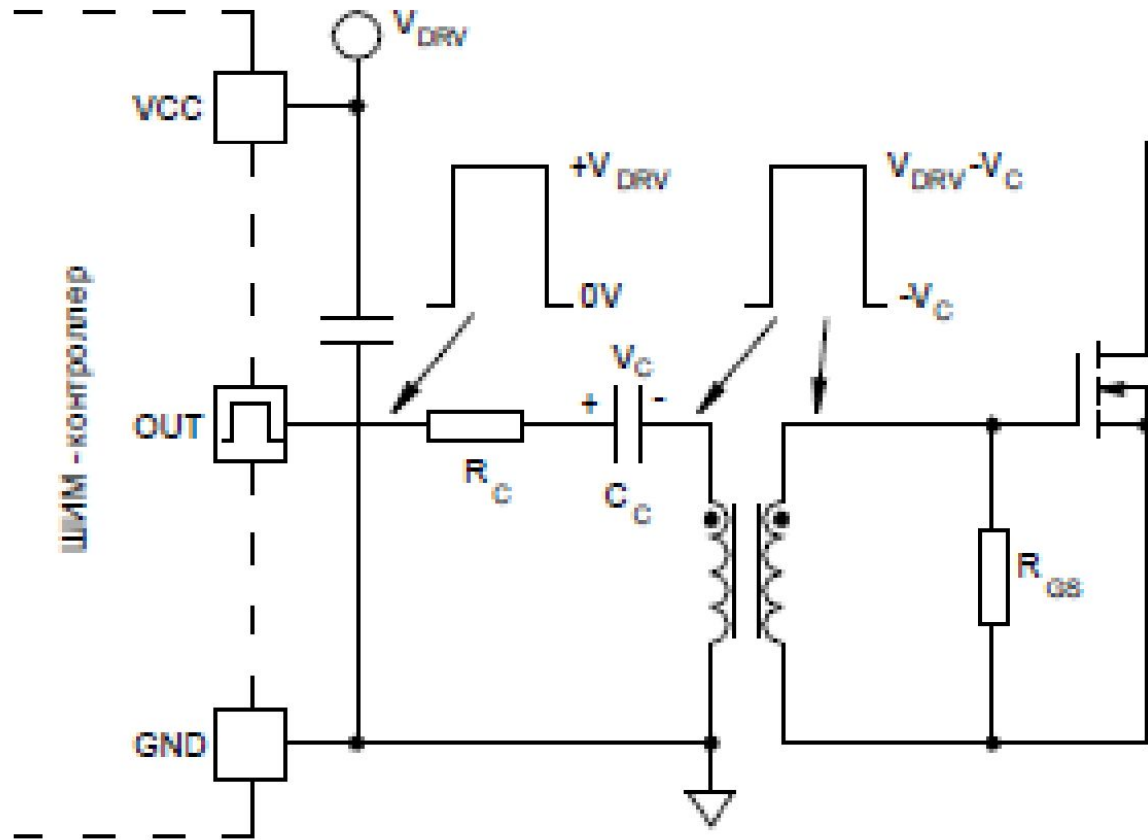


Рис.31 Трансформатор управления в одноконтурной схеме

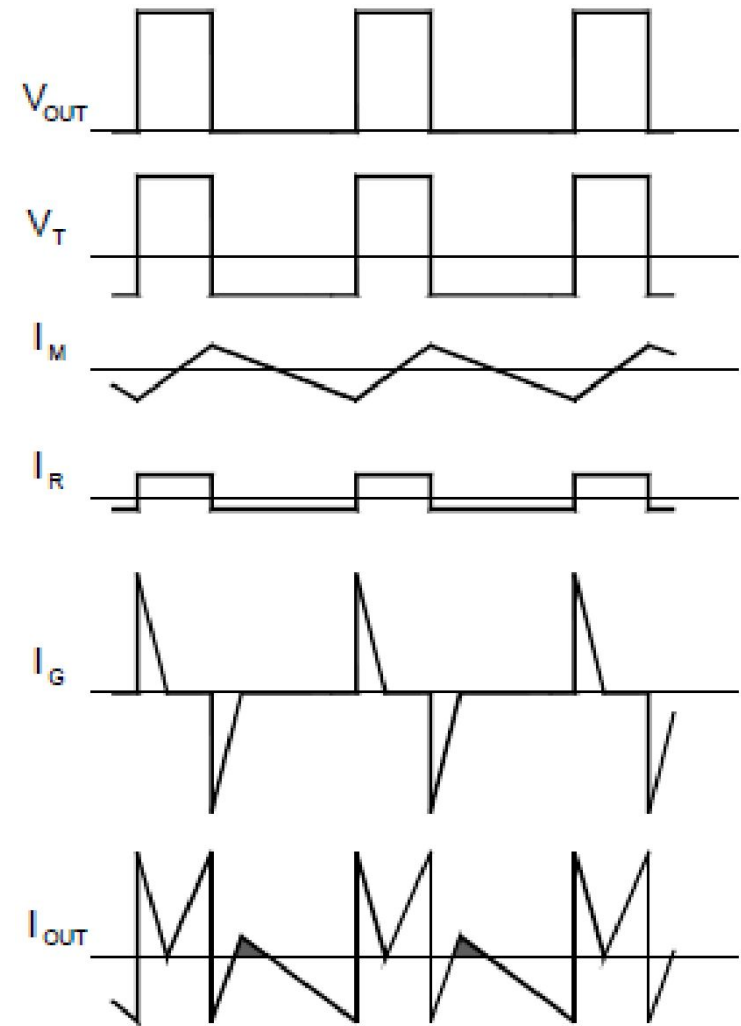


Рис.32 Диаграммы токов и напряжений в трансформаторной схеме управления

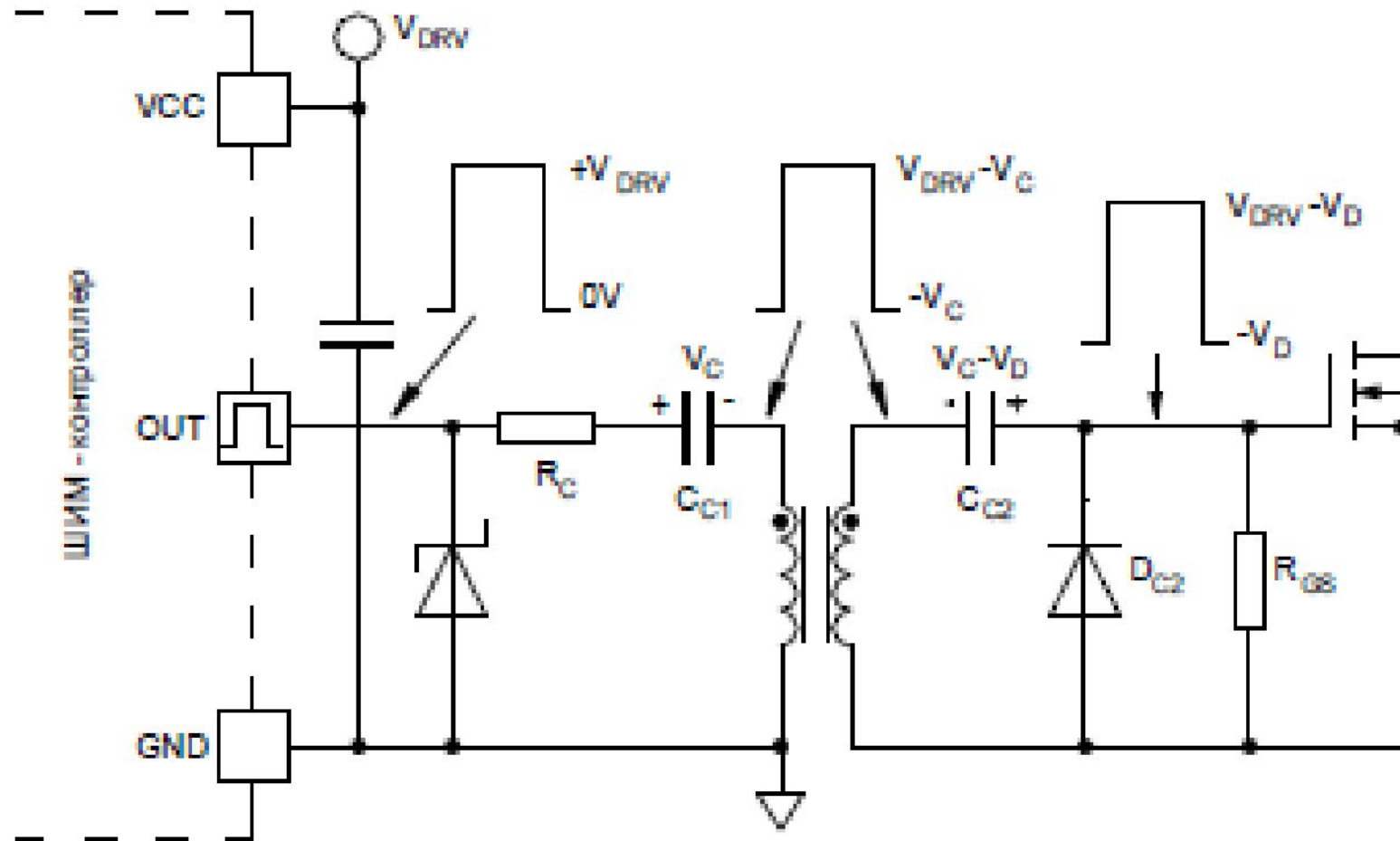


Рис.33 Восстановление изначального уровня сигнала в схеме с трансформатором управления

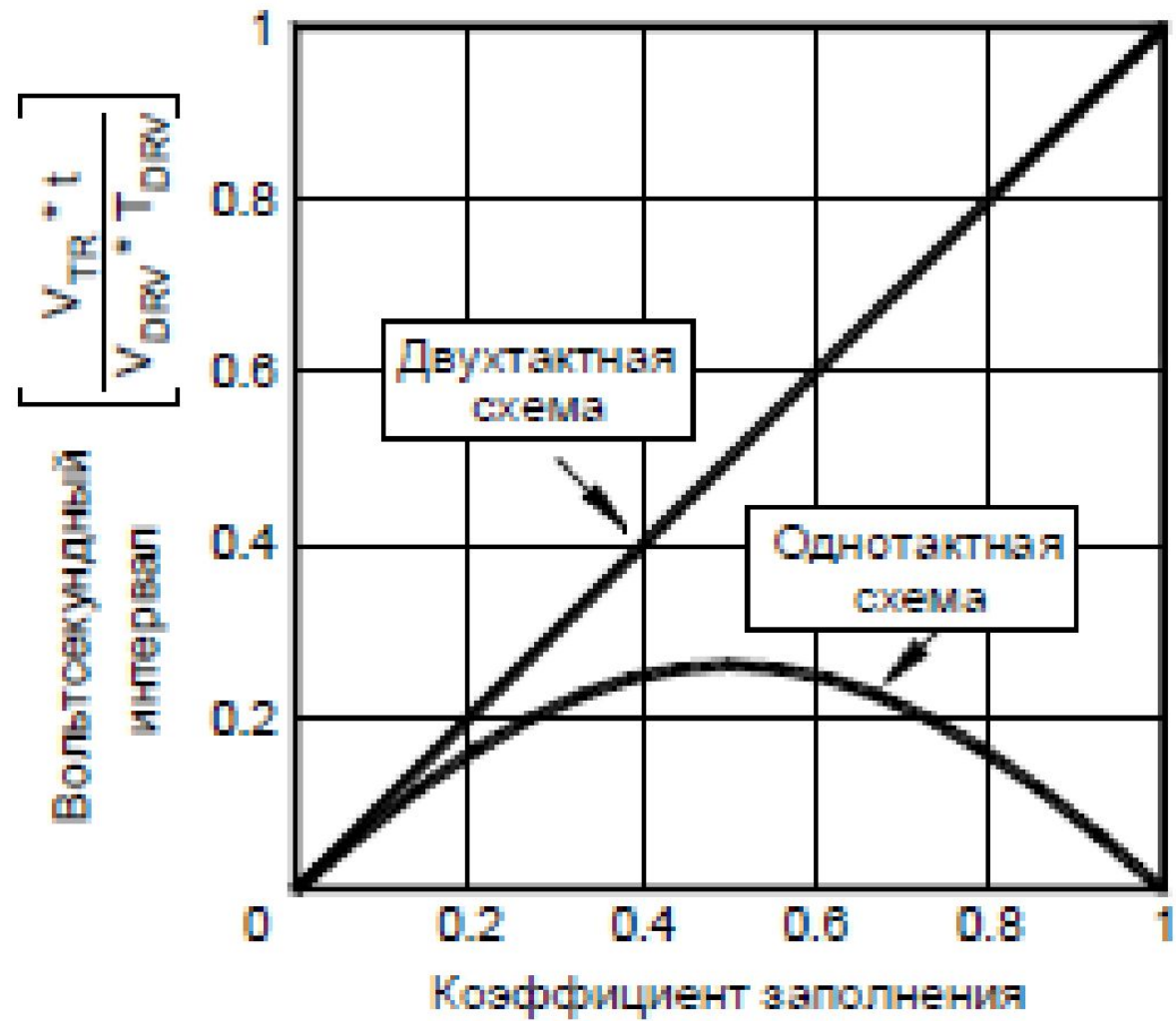


Рис.34 Вольтсекундный интервал как функция коэффициента заполнения

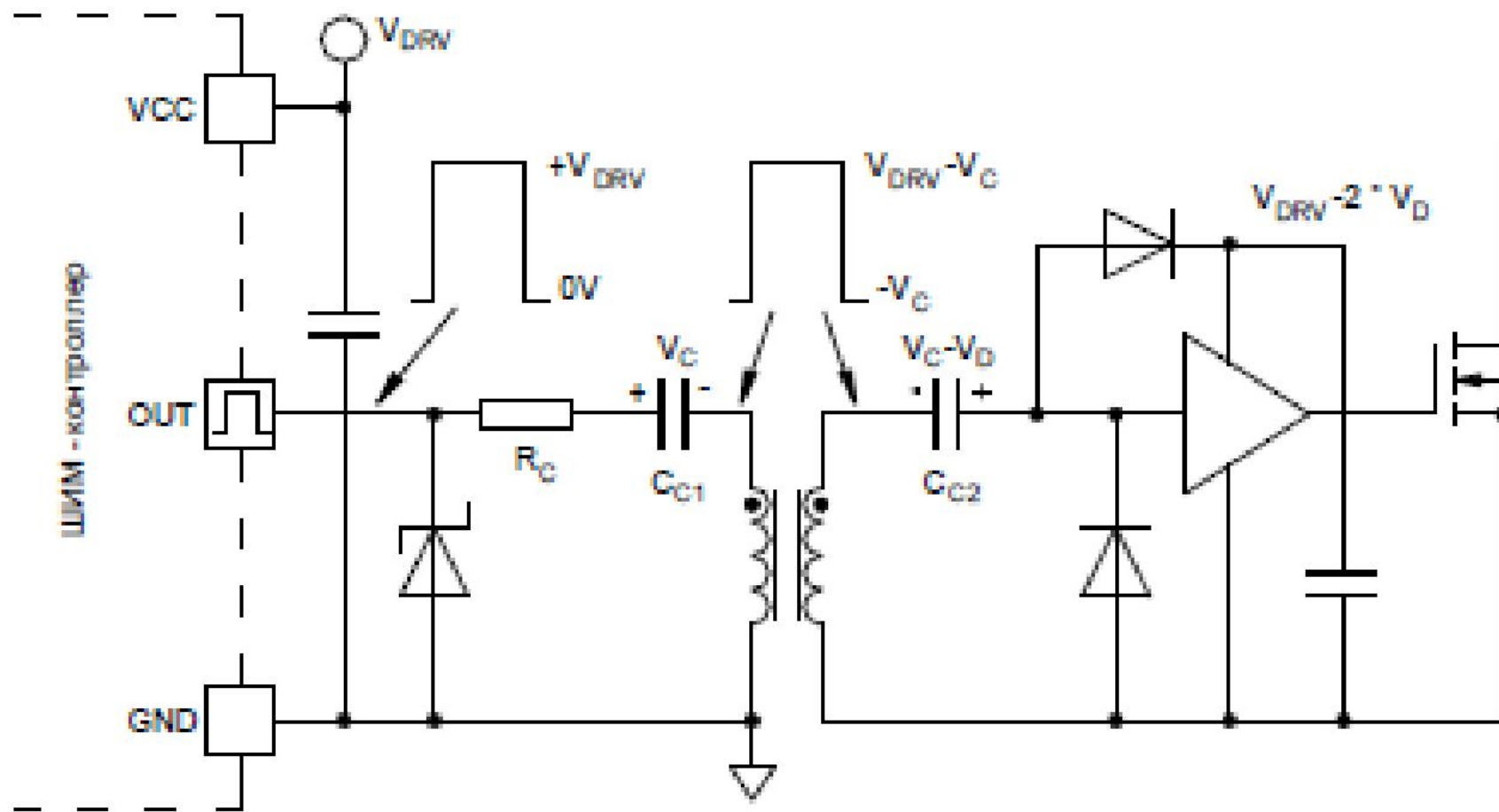


Рис.35 Трансформатор управления двойного назначения –
Вариант 1

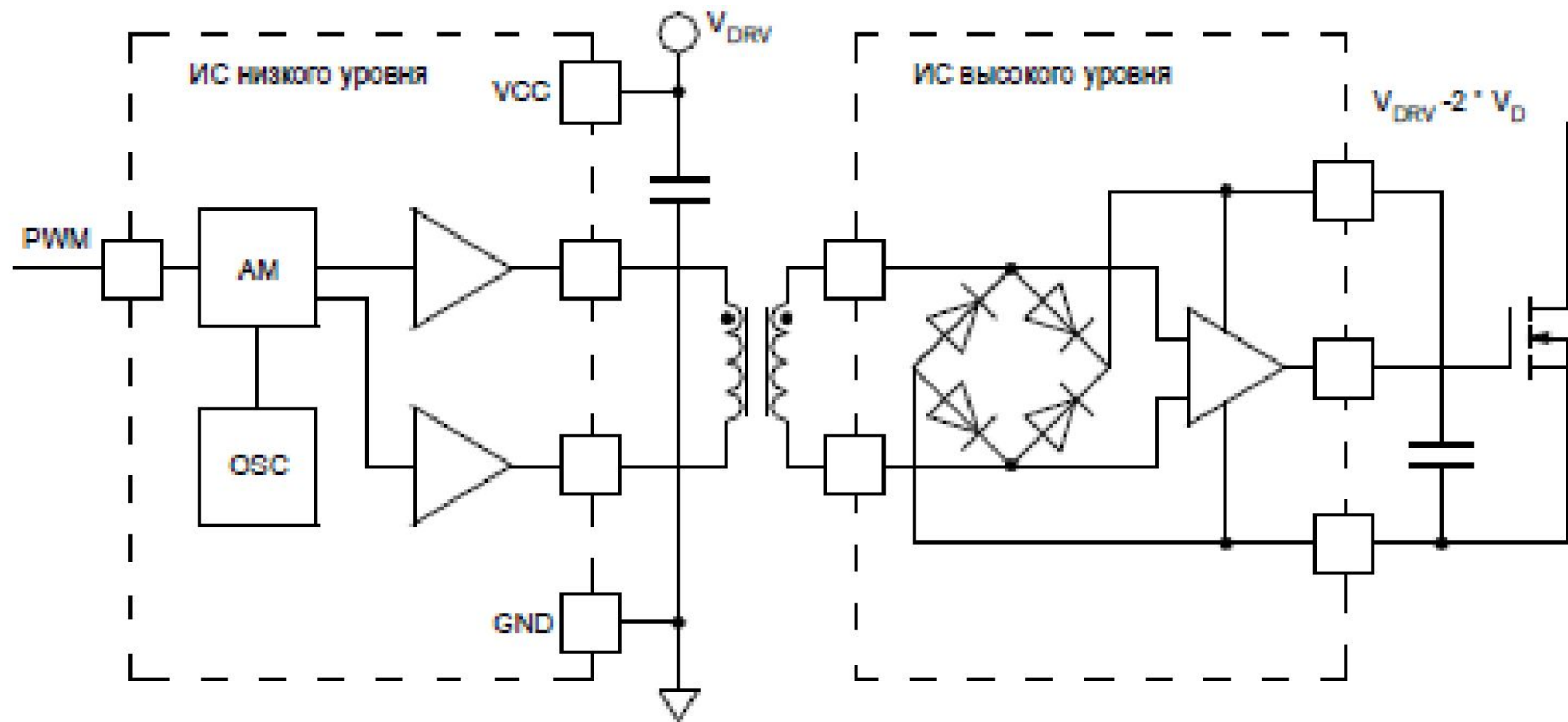


Рис.36 Трансформатор управления двойного назначения –
Вариант 2

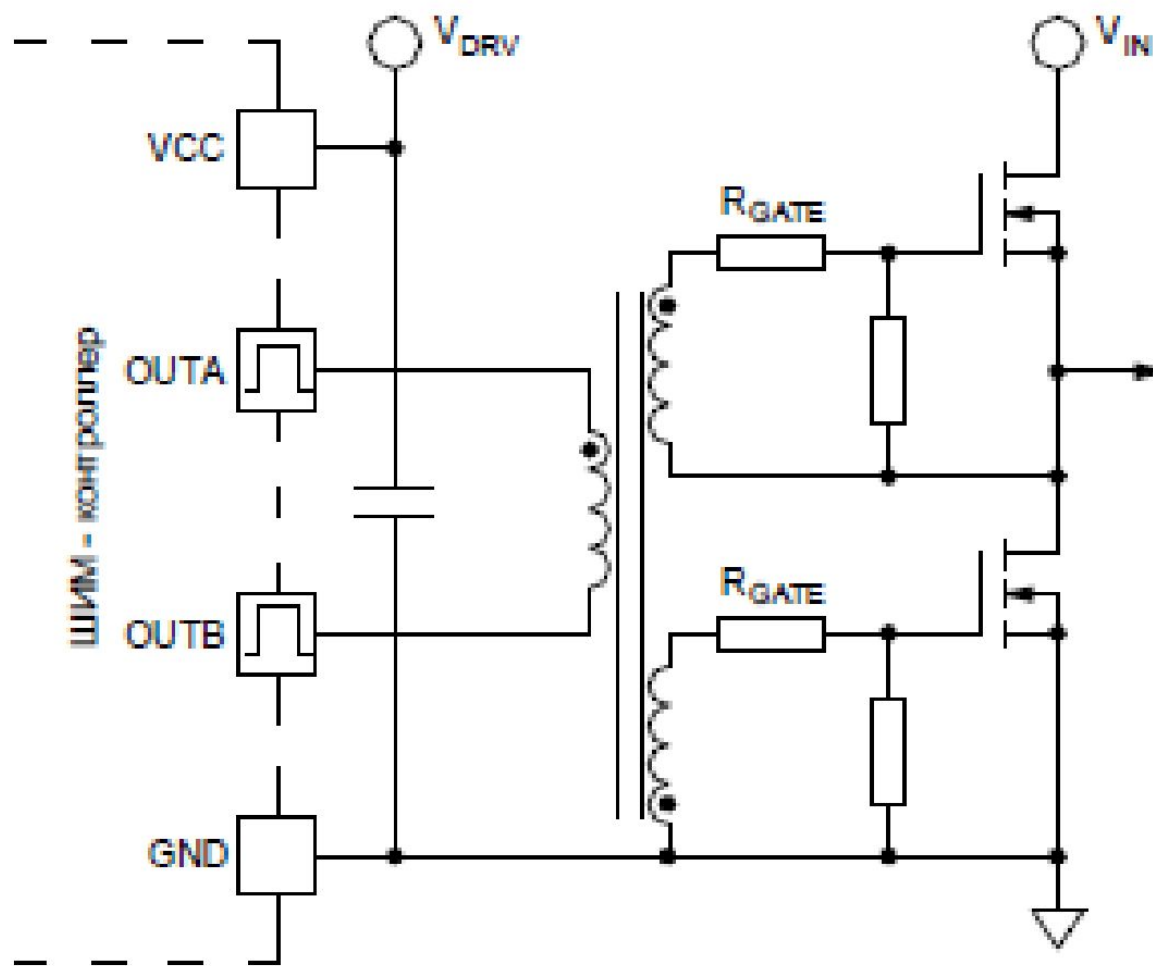


Рис.37 Трансформатор управления в двухтактной схеме